

## บทที่ 4

### ทฤษฎีโมเลกุลาร์ออร์บิตัล

### Molecular Orbital Theory

จากบทที่หนึ่งจะเห็นได้ว่าสมการชุดดิจิทัลได้ให้คำอธิบายเกี่ยวกับพฤติกรรมของอะลีกตรอนสำหรับไฮโดรเจนอะตอมและระบบอะลีกตรอนเดียวอื่นๆ ได้อย่างถูกต้อง และเมื่ออิเล็กตรอนเท่ากันหรือมากกว่าสองล้อมรอบนิวเคลียสเดียว การประมาณค่าบังคับใกล้เคียงกับข้อมูลจากการทดลอง

ในการผนึกอิเล็กตรอนเดียวขึ้นกับนิวเคลียสสองหรือมากกว่าสองนิวเคลียส การอธิบายการเกิดพันธะเคมีด้วยการประมาณค่าโดยใช้พื้นฐานของสมการคลื่นกึ่งคงให้ผลที่สอดคล้องกับที่ได้จากการทดลอง กลยุทธ์หนึ่งซึ่งใช้ในการอธิบายพันธะเคมีในบทนี้มีแนวคิดที่รู้จักกันดีคือ ทฤษฎีโมเลกุลาร์ออร์บิตัล (MOT) รูปแบบพื้นฐานของทฤษฎีนี้คือว่า ออร์บิตัลของอะตอม หรืออะตอมมิค ออร์บิตัล (AO) สามารถที่จะผสมเข้าด้วยกันเพื่อสร้างเป็นออร์บิตัลของโมเลกุล หรือโมเลกุลาร์ออร์บิตัล (MO) ขบวนการนี้ (ในการผนึกที่รวมกันอย่างเสถียร) จะทำให้เกิดสิ่งที่เราเรียกว่า พันธะเคมี (chemical bond) ขึ้น

#### 4.1 การรวมเชิงเส้นของอะตอมมิค ออร์บิตัล (The Linear Combination of Atomic Orbitals หรือ LCAO)

ลักษณะหนึ่งของทฤษฎีโมเลกุลาร์ออร์บิตัลคือ วิธีการรวมเชิงเส้นของอะตอมมิค ออร์บิตัล ซึ่งต่อไปนี้จะเห็นว่ากลยุทธ์นี้มีประโยชน์เป็นพิเศษสำหรับโมเลกุลและอ่อนนุ่มนิ่ง มีจำนวนอะตอมน้อยและ/หรือมีสมมាពรสุง หลักการเบื้องต้นและข้อสมมติของ LCAO มีดังต่อไปนี้ :

1. โมเลกุลาร์ออร์บิตัลก่อรูป (formed) ขึ้นมาจากการรวม (combination) หรืออันตรกิริยา (interaction) ของอะตอมมิค ออร์บิตัลสองหรือมากกว่าสองอะตอม

2. เนพาะเวเลนซ์อิเล็กตรอนเท่านั้นที่เกี่ยวข้องกับการเกิดพันธะ และเนพาะเวเลนซ์ ออร์บิตัลเท่านั้นที่รวมกันเกิดเป็นโมเลกุลาร์ออร์บิตัล

3. จำนวนอะตอมมิค ออร์บิตัลที่เข้าสมกันจะเท่ากับจำนวน โมเลกุลาร์ออร์บิตัลที่ได้เสมอ

4. โมเลกุลาร์ออร์บิตัลจะแสดงสมบัติคล้ายกับอะตอมมิค ออร์บิตัล ตัวอย่างเช่นกฎของชูนค์และหลักการกันออกไปของพอลลี

5. เนพาะอะตอมมิค ออร์บิตัลซึ่งมีสมมาตรเหมือนกัน (identical symmetry) จึงจะสามารถเกิดอันตรกิริยาซึ่งกันและกันได้

6. การสมกันของ ออร์บิตัล จะมีนัยสำคัญเมื่อออร์บิตัลเริ่มต้นมีพลังงานใกล้เคียงกัน ถ้าพลังงานระหว่าง ออร์บิตัลเริ่มต้นต่างกันมากขึ้น ผลของการล้ำกัน (overlap) ก็จะลดลงด้วย

ความคิดต่างๆเหล่านี้จะผสมผสานเข้าเป็นข้อความเดียวกือ โมเลกุลาร์ออร์บิตัลที่ก่อรูป/ขึ้นผ่านการเกิดพันธะโดยมีนิย়ังคงลักษณะเฉพาะ (characteristics) ของอะตอมมิค ออร์บิตัลเดิมไว้ นั่นคืออะตอมมิค ออร์บิตัลเดิมถูกปรบกวน (perturbed) แต่ไม่ได้เปลี่ยนแปลงไปทั้งหมด จากความคิดนี้เป็นที่มาของสมการ

$$\Psi = c_1\phi_1 + c_2\phi_2 + \dots \quad (4.1)$$

ในที่นี้  $\phi$  แทนฟังก์ชันคลื่นสำหรับอะตอมมิค ออร์บิตัลเดิม

$\psi$  เป็นฟังก์ชันคลื่นของ โมเลกุลาร์ออร์บิตัลที่ได้

$c$  แต่ละค่าเป็นค่าคงที่ เรียกว่า สัมประสิทธิ์ของความสำคัญ (weighting coefficient)

ขนาดของ  $c$  บอกให้ทราบถึงความสำคัญสัมพัทธ์ (relative importance) ของอะตอมมิค ออร์บิตัลที่เข้ามาร่วมกันเป็น โมเลกุลาร์ออร์บิตัล สมการนี้ถือเป็นสูตรในการสร้าง โมเลกุลาร์ออร์บิตัล ค่าสัมประสิทธิ์ของความสำคัญจะบอกถึงปริมาณของแต่ละอะตอมมิค ออร์บิตัลที่เข้ามาผสมกัน จำนวนเทอมทางขวาของสมการ LCAO นั้นแปลงได้ กรณีทั่วไปจะมี 2 เทอม แต่อาจมีมากกว่าก็ได้ (โดยเนพาะใน โมเลกุลาร์ออร์บิตัลชนิด-π)

เครื่องหมายของอะตอมมิคօร์บิตัลมีความสำคัญในการใช้สมการ (4.1) ถ้าเครื่องหมายของ  $\phi$ 's เข้ากันได้ (เป็นบวกหรือลบเหมือนกัน) คลื่นทั้งสองจะเสริมกำลังซึ่งกันและกัน ผลก็คือจะเพิ่มความหนาแน่นอิเล็กตรอนระหว่างนิวเคลียสทั้งสอง และค่ายเหตุนี้จึงเพิ่มเสถียรภาพขึ้นเมื่อเปรียบเทียบกับอะตอมมิคօร์บิตัลเดิม ในกรณีความสัมพันธ์ระหว่างօร์บิตัลใหม่และօร์บิตัลเดิมจะเขียนเป็นสัญลักษณ์ได้ดังนี้

$$\Psi = c_1\phi_1 + c_2\phi_2 \quad (4.2)$$

ในทางตรงข้าม ถ้าเครื่องหมายของօร์บิตัลเดิมเข้ากันไม่ได้ (ตัวหนึ่งเป็นบวกและอีกตัวหนึ่งเป็นลบ) ผลที่ได้จะลดความหนาแน่นอิเล็กตรอนระหว่างนิวเคลียส

$$\Psi = c_1\phi_1 - c_2\phi_2 \quad (4.3)$$

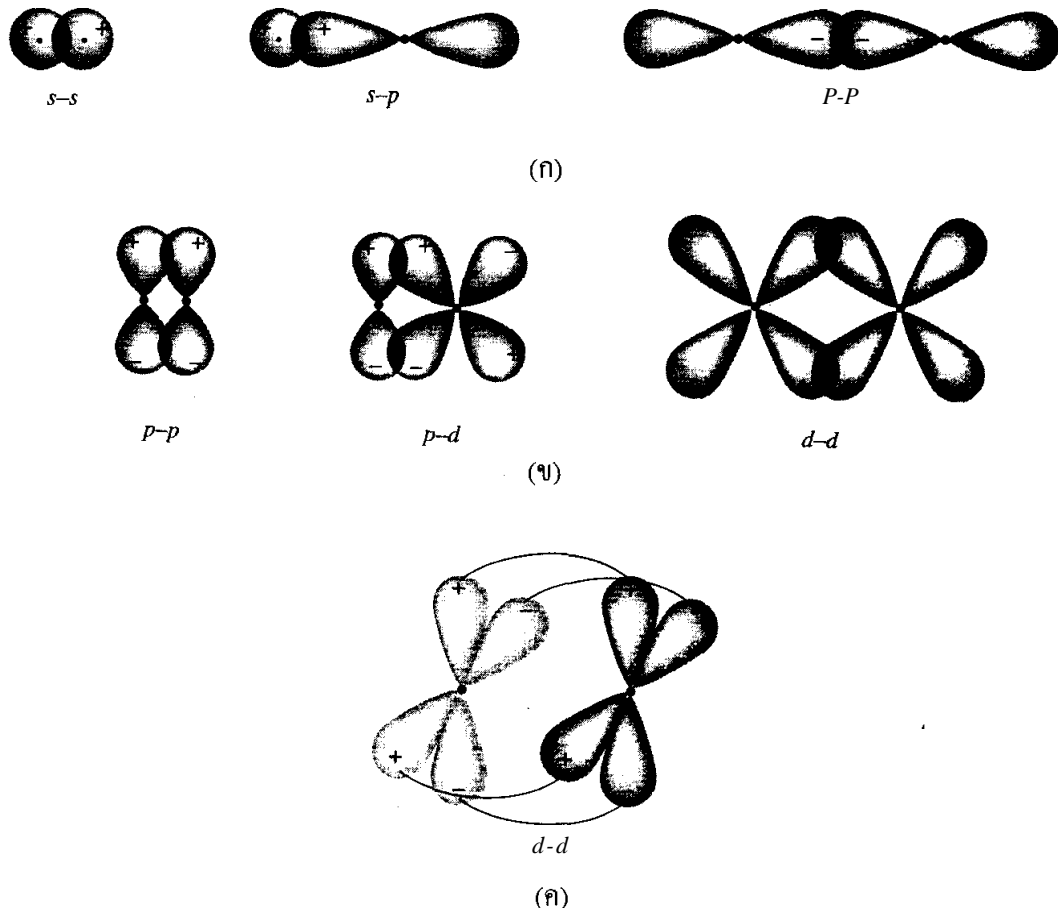
โมเลกุลาร์օร์บิตัลแบบนี้จะเสถียรน้อยกว่าօร์บิตัลเดิมอันใดอันหนึ่ง และเนื่องจากเป็นไปได้ที่จะรวมอะตอมมิคօร์บิตัลทั้งสองได้ทั้งสองแบบ โมเลกุลาร์օร์บิตัลจึงมักเกิดเป็นคู่คือ บอนดิงโมเลกุลาร์օร์บิตัล (bonding MO) ซึ่งมีความหนาแน่นอิเล็กตรอนเพิ่มระหว่างนิวเคลียสที่เกี่ยวข้อง และแอนติบอนดิงโมเลกุลาร์օร์บิตัล (antibonding MO) ซึ่งความหนาแน่นอิเล็กตรอนลดลงและมีโนด (node) ระหว่างนิวเคลียส

## 4.2 การเรียกชื่อโมเลกุลาร์օร์บิตัล (Molecular Orbital Designations)

เพื่อที่จะแยกแยะระหว่างบอนดิงและแอนติบอนดิงโมเลกุลาร์օร์บิตัล เราใช้เครื่องหมาย (\*) ไว้เหนือแอนติบอนดิงโมเลกุลาร์օร์บิตัล

เราใช้อักษร s, p, d และ f เรียกอะตอมมิคօร์บิตัล เพื่อให้ทราบความแตกต่างของรูปร่างและ/หรือจำนวนโโนดเชิงมุน ในทำนองเดียวกันสำหรับโมเลกุลาร์օร์บิตัลเราจะใช้อักษรกรีกตัวเล็กเรียกชื่อ  $\sigma$  (sigma)  $\pi$  (pi) และ  $\delta$  (delta) เป็นต้น  $\sigma$ -MO อาจเกิดจากการรวมของ s-, p- และ/หรือ d-AO's ได้ สำหรับ  $\pi$ -MO เกิดจากการรวมของ p- และ/หรือ d-AO's ส่วน  $\delta$ -MO เกิดจากอันตรกิริยาของ d-d AO's สิ่งที่แตกต่างกันประการที่สองคือ พันธะ  $\sigma$  เกี่ยวข้องกับการล้ำกันของօร์บิตัลในบริเวณเดียว สำหรับพันธะ  $\pi$  มีการล้ำกันสองบริเวณและมีโนดอยู่ระหว่างกลาง ส่วนพันธะ  $\delta$  เกี่ยวข้องกับการล้ำกันสี่

บริเวณและมีโนดสองโนด รูปที่ 4.1 แสดงแบบ (type) ของการล้ากันของออร์บิตัลที่รู้จักกันมากที่สุด



รูปที่ 4.1 แบบของการล้ากันของออร์บิตัลที่รู้จักกันมากที่สุด (ก) การล้ากันแบบ  $\sigma$  (ข) การล้ากันแบบ  $\pi$  (ค) การล้ากันแบบ  $\delta$

ตามกฎที่ว่าไปแล้วการเกิดพันธะแบบ  $\sigma$  จะแข็งแรงกว่าแบบ  $\pi$  ซึ่งก็จะแข็งแรงกว่าแบบ  $\delta$  ตามลำดับกัน ดังนี้ถ้าสองอะตอมใช้อิเล็กตรอนคู่ร่วมกัน 1 คู่ พันธะจะต้องเป็นแบบ  $\sigma$  ถ้ามีสองพันธะ พันธะหนึ่งจะเป็น  $\sigma$  และอีกพันธะหนึ่งจะเป็น  $\pi$  ส่วนพันธะ  $\delta$  จะพบเมื่ออะตอมทั้งสองมีอันตรกิริยา  $\sigma$ - และ  $\pi$ - อยู่แล้ว

### 4.3 การล้ากันโดยใช้ s-ออร์บิตัลเท่านั้น

พิจารณาโดยใช้  $H_2$  โดยมีโครงสร้างสถานะพื้น  $1s^1$  ดังนั้นจึงมีเพียง 2 ออร์บิตัล ( $1s$ -ออร์บิตัลของแต่ละอะตอม) ที่จะเกิดพันธะได้ อะตอมมิคของออร์บิตัลทั้งสองนี้ จะรวมกันเกิดโมเลกุลาร์ออร์บิตัล 2 แบบ สมการ LCAO สำหรับอนดิงออร์บิตัลเป็น

$$\Psi_b = c_1 \phi_1 + c_2 \phi_2$$

ฟังก์ชัน  $\phi_1$  และ  $\phi_2$  ของแต่ละอะตอมมิคของออร์บิตัล เราทราบจากตารางที่ 1.2 1.3 และ 1.4 ส่วน  $c_1$  และ  $c_2$  เราจะต้องหาโดยไม่ลืมว่าเราสนใจในค่าความหนาแน่นของความน่าจะเป็น  $\psi^2$  มากกว่าแอนพลิจูดของคลื่น  $\psi$  ดังนั้น

$$\psi^2 = c_1^2 \phi_1^2 + c_2^2 \phi_2^2 + 2c_1 c_2 \phi_1 \phi_2 \quad (4.4)$$

เทอมสุดท้ายของสมการ (4.4) เป็น เทอมไขว้ หรือ เทอมที่ล้ำกัน (overlap term) ค่านี้สัมพันธ์กับการล้ากันของอะตอมมิคของออร์บิตัลและความแข็งแรงของพันธะเคมีที่เกิดขึ้น ค่าความหนาแน่นของความเป็นไปได้ทั้งหมดหาได้โดยการอินทิเกรตทั่วทั้งปริภูมิ (space) ถ้า  $d\tau = dx dy dz$

$$\int \psi^2 d\tau = c_1^2 \int \phi_1^2 d\tau + c_2^2 \int \phi_2^2 d\tau + 2c_1 c_2 \int \phi_1 \phi_2 d\tau \quad (4.5)$$

ขึ้นต่อไปทำการนормัลไลซ์ (normalize) อะตอมมิคและโมเลกุลาร์ออร์บิตัล นั่นคือความเป็นไปได้ในการหาอิเล็กตรอนทั้งหมดในอะตอมมิคหรือโมเลกุลออร์บิตัลจะเป็นหนึ่ง (unity)

$$\begin{aligned} \text{ดังนั้น } \int \psi^2 d\tau &= \int \phi_1^2 d\tau = \int \phi_2^2 d\tau = 1 \\ 1 &= c_1^2 + c_2^2 + 2c_1 c_2 \int \phi_1 \phi_2 d\tau \end{aligned} \quad (4.6)$$

ค่า  $\int \phi_1 \phi_2 d\tau =$  อินทิเกรตของการล้ำกัน (overlap integral) =  $S_{12}$

$$\text{ทำให้ } 1 = c_1^2 + c_2^2 + 2c_1 c_2 S_{12} \quad (4.7)$$

อย่างไรก็ตามเทอม  $2c_1 c_2 S_{12}$  นั้นจะละเอียดเมื่อเทียบกับอิกสองเทอมจึงทำให้ง่ายขึ้น

$$1 = c_1^2 + c_2^2 \quad (4.8)$$

เนื่องจากอะตอมมิคօร์บิτัลเดิมทั้งสองเหมือนกัน ( $1s-H$ ) ดังนั้นจึงมีส่วนนำรุ่ง (contribute) ให้กับโมเลกุลาร์օร์บิտัลเท่ากัน นั่นคือ  $c_1 = c_2$  ในกรณีนี้  $c_1 = c_2 = 1/\sqrt{2}$  และรูปแบบสุดท้ายของบอนดิงօร์บิทัลที่นอร์มัลไลส์แล้วจะเป็น

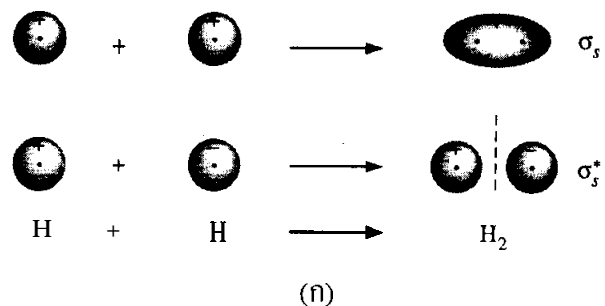
$$\Psi_b = 1/\sqrt{2} (\phi_1 + \phi_2) \quad (4.9)$$

ส่วนสมการของแอนติบอนดิงօร์บิทัลจะเป็น

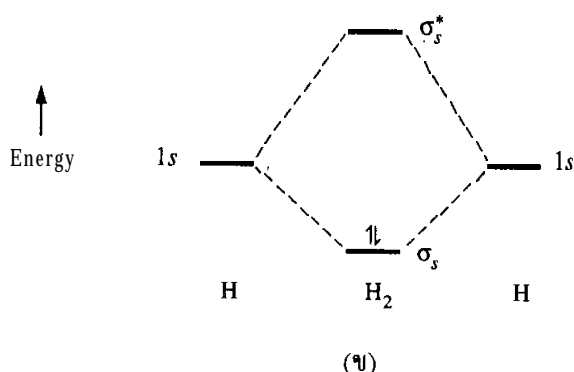
$$\Psi^* = 1/\sqrt{2} (\phi_1 - \phi_2) \quad (4.10)$$

ภาพของโมเลกุลาร์օร์บิทัลทั้งสองนี้แสดงในรูปที่ 4.2 MO's ทั้งสองนี้เป็นแบบ  $\sigma$  เนื่องจากการล้ากันเกิดขึ้นในบริเวณเดียว และเมื่อทำการหมุน (rotation) รอบแกนที่ต่อระหว่างนิวเคลียสแล้ว เครื่องหมายฟังก์ชันคลื่นไม่เปลี่ยนแปลง สัญลักษณ์  $\sigma_s$  และ  $\sigma_s^*$  แทนบอนดิงและแอนติบอนดิง โมเลกุลาร์օร์บิทัลตามลำดับ อักษร  $s$  ที่ห้อยท้ายแสดงว่ามาจาก  $s$ -օร์บิทัล

สังเกตรูปที่ 4.2(ก) บอนดิงօร์บิทัลจะมีความหนาแน่นอิเล็กตรอนระหว่างนิวเคลียสมากกว่าในอะตอมมิคօร์บิทัลเดิม จึงทำให้เสถียรภาพเพิ่มขึ้น ในทางตรงกันข้าม  $\sigma_s^*$  จะมีความหนาแน่นอิเล็กตรอนลดลงและมีโนด (node) ระหว่างนิวเคลียสทั้งสอง จึงมีเสถียรภาพน้อยกว่าอะตอมเดิม การเพิ่มและการลดเสถียรภาพของบอนดิงและแอนติบอนดิงօร์บิทัลมีค่าประมาณใกล้เคียงกัน ค่าพลังงานที่เพิ่มหรือลดจากอะตอมมิคօร์บิทัลเดิมนี้บางครั้งก็เรียกว่า อินทิกรัลของการแลกเปลี่ยนกัน (exchange integrals) หรือบางแห่งเรียกว่า อินทิกรัลของเรโซแนนซ์หรือโคงเวนท์ ใช้สัญลักษณ์ว่า “ $\beta$ ” เราอาจจะพูดได้ว่า  $\beta$  นี้แทนเสถียรภาพของพันธะโคงเวนท์ที่ได้ และโดยทั่วไปผลรวมของพลังงานของระบบจะไม่เปลี่ยนแปลงมากเมื่อเปลี่ยนจากอะตอมมิคօร์บิทัลไปเป็นโมเลกุลาร์օร์บิทัล (ในการคำนวณอย่างละเอียดพบว่าแอนติบอนดิงօร์บิทัลจะมีความไม่เสถียรมากกว่าความเสถียรของบอนดิงօร์บิทัลเล็กน้อย ดังรูปที่ 4.2 (ก))



(g)



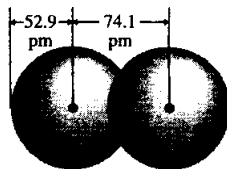
(h)

รูปที่ 4.2 โมเลกุลาร์อิร์บิตัลสำหรับ  $H_2$  (g) ภาพสเก็ตช์ของอนดิง ( $\sigma_s$ ) และแอนติบอนดิง ( $\sigma_s^*$ ) อิร์บิตัล (h) แผนภาพระดับพลังงานของโมเลกุลาร์อิร์บิตัล ความไม่เสถียรของ  $\sigma_s^*$  จะมากกว่าความเสถียรของ  $\sigma_s$  เล็กน้อย เนื่องจากแรงผลักกระหว่างอิเล็กตรอน

ในสถานะพื้น อิเล็กตรอนทั้งสองของ  $H_2$  จะอยู่ใน  $\sigma_s$  ดังนั้นจึงมีสปินตรงกันข้าม ตามหลักของพอลลิ ส่วนใน  $\sigma_s^*$  จะว่างอยู่ ตามสัญนิยม(convention) อะตอมมิค/oร์บิตัลเดิมจะเขียนไว้ว่างข้างของแผนภาพระดับพลังงานของโมเลกุลาร์อิร์บิตัลซึ่งโมเลกุลาร์อิร์บิตัลที่เกิดขึ้นจะอยู่ต่างกัน

#### 4.4 ความยาวพันธะ พลังงานพันธะและอันดับพันธะ

ระยะทางระหว่างนิวเคลียสของ  $H_2$  จากการทดลองเท่ากับ 74.1 พิโคเมตร ขณะที่รัศมีอะตอมของ H เท่ากับ 52.9 พิโคเมตร ค่าทั้งสองนี้แสดงว่ามีความสัมพันธ์ระหว่าง 1s- ออร์บิทัลเดิมและหลังจากการเกิดพันธะแล้ว ในรูปที่ 4.3



รูปที่ 4.3 การล้ำกันของ 1s-ออร์บิทัลของ H อะตอมในการเกิด  $H_2$  ให้สังเกตบริเวณที่ใช้ร่วมกัน

เหตุผล ล้ำกัน (overlap) นี้ใช้มากในทฤษฎีการเกิดพันธะ จากรูปที่ 4.3 จะเห็นว่า เมื่อเกิดพันธะเคมีจะมีบริเวณที่อะตอมทั้งสองใช้ร่วมกัน นั่นคือออร์บิทัลของอะตอมต่างกี ล้ำกัน โดยทั่วไปความแข็งแรงของพันธะจะเพิ่มตามขนาด (degree) ของการล้ำกัน ด้วยเหตุ นี้ความยาวของพันธะและความแข็งแรงของพันธะจะมีความสัมพันธ์กลับกัน ยิ่งถ้าพันธะ ยาวขึ้น ความแข็งแรงจะน้อยลง

การทดลองที่สนับสนุนการทำนายทางทฤษฎีที่ว่าอิเล็กตรอนทั้งสองของ  $H_2$  เสถียร ขึ้นเมื่อเปลี่ยนจาก 1s-AO's ไปเป็น  $\sigma_s$ -MO ได้แก่ปฏิกิริยา  $H + H \rightarrow H_2$  จะเป็นอีก ไหเซอร์มิก ในขบวนการกลับกันคือการแยกนิวเคลียสทั้งสองออกจากกันจะเป็นเรื่อง โภเซอร์มิก พลังงานที่ต้องใช้ในการแยกออกนี้เรียกว่า พลังงานพันธะ (bond energy or bond dissociation energy) มีสัญลักษณ์เป็น “D” พลังงานพันธะของ  $H_2$  จากการทดลองวัดได้ 432 กิโล焦ลต่อโมล

ส่วน อันดับพันธะ (bond order) คำนวณได้จากสมการ

$$\text{อันดับพันธะ} = \frac{\text{จำนวนอิเล็กตรอนในหนึ่งออร์บิทัล} - \text{จำนวนอิเล็กตรอนในแอนติบอนดิng ออร์บิทัล}}{2} \quad (4.11)$$

ด้วยเหตุนี้อันดับพันธะของ  $H_2$  เท่ากับ  $\left(\frac{2-0}{2}\right) = 1$  ซึ่งสอดคล้องกับพันธะเดี่ยว และเช่นเดียวกันจะมีความสัมพันธ์โดยตรงระหว่างอันดับพันธะกับพลังงานพันธะ นั่นคือ สปีชีส์ซึ่งมีอันดับพันธะสูงจะมีแนวโน้มของพลังงานพันธะสูงด้วย

ถ้าดึงอิเล็กตรอนออกจาก  $H_2$  ออกหนึ่งตัวได้  $H_2^+$  (hydrogen molecule cation) อิเล็กตรอนที่หลุดลงใน  $\sigma_s$  จะลดอันดับพันธะลงเป็น  $\left(\frac{1-0}{2}\right) = 1/2$  ดังนั้นเราคาดว่าพลังงานพันธะย่อมจะลดลงครึ่งหนึ่งจาก 432 เป็น 216 กิโลจูลต่อโมล แต่จริงๆ แล้วเป็น 255 กิโลจูลต่อโมล ทั้งนี้เนื่องจากแรงผลักกระหว่างอิเล็กตรอนใน  $H_2$  จะหายไปใน  $H_2^+$  แรงผลักนี้ มีค่าประมาณ  $255 - 216 = 39$  กิโลจูลต่อโมล สำหรับสถานะพื้นของ  $H_2$  และเนื่องจาก อันดับพันธะลดลง ความยาวพันธะควรจะเพิ่มขึ้น ซึ่งก็พบว่าระยะทางระหว่างนิวเคลียสใน  $H_2^+$  เท่ากับ 106 พิโคเมตร

ตัวอย่างระบบที่มี s- อิเล็กตรอนอีกรอบหนึ่งก็คือ การล้ากันของ He อะตอม 2 อะตอม 1s-อะตอมมิคออร์บิทัลผสมกันได้ผลเช่นเดียวกับ  $H_2$  ก็คือ  $\sigma_s$  บนดิจิตร์บิทัล และ  $\sigma_s^*$  แอนติบอนดิจิตร์บิทัล แต่มีอิเล็กตรอนทั้งหมด 4 ตัวบรรจุอยู่ใน MO's ทั้งสอง และ โครงแบบอิเล็กตรอนเป็น  $(\sigma_s)^2 (\sigma_s^*)^2$  ดังนั้นอันดับพันธะจึงเท่ากับ  $\left(\frac{2-2}{2}\right) = 0$  แสดงว่า ไม่มีอะไรเกิดขึ้นจากการล้ากัน และพลังงานพันธะมีค่าเป็นศูนย์ด้วย จึงไม่น่าแปลกใจที่ไม่มีโมเลกุลนี้

อย่างไรก็ตามความสามารถศึกษา  $He_2^+$  ซึ่งเป็นแคตอ่อนซึ่งมีเวลน์เดี่ยว ความยาวพันธะจากการทดลองเท่ากับ 108 พิโคเมตร และพลังงานพันธะเท่ากับ 322 กิโลจูลต่อโมล ซึ่งหมายความว่าอันดับพันธะที่คำนวณได้ ก็คือ 1/2

ธาตุตัดไปคือลิเทียม Li ซึ่งมีโครงแบบอิเล็กตรอน  $1s^2 2s^1$  นั่นคือ 1s-อะตอร์บิทัลอยู่เป็นแกนภายในมีพลังงานต่ำ มี2s-อะตอร์บิทัลอยู่ล้อมรอบบริเวณนอก ด้วยเหตุนี้ในการพิจารณาการเกิดพันธะใน  $Li_2$  เราจึงไม่ต้องคำนึงถึง 1s-อะตอร์บิทัลและ1s-อิเล็กตรอนได้ โดยถือว่ามี 1 เวลน์ซึ่งอิเล็กตรอนต่ออะตอม เมื่อ 2s- อะตอร์บิทัลของ Li ทั้งสองล้ากันจะเกิดบนดิจิตร์บิทัลและแอนติบอนดิจิตร์บิทัลซึ่งมีรูปร่างโดยทั่วไปเหมือนกับแบบที่เคยกล่าว โครงแบบอิเล็กตรอนเป็น  $(\sigma_s)^2$  อันดับพันธะเท่ากับ 1 ค่าความยาวพันธะและพลังงาน

พันธะจากการทดลองเท่ากับ 267 พิโโคเมตร และ 110 กิโลกรัมต่้อมลตามลำดับ ค่าพลังงานพันธะน้อยกว่า  $H_2$  แสดงให้เห็นว่าการล้ากันของ  $2s\text{-Li}$  ออร์บิทัลนั้นน้อยกว่าการล้ากันของ  $1s\text{-H}$  ออร์บิทัล

ในท่านองเดียวกันเราไม่สามารถสังเคราะห์  $Be_2$  ซึ่งมี 4 เวเลนซ์อิเล็กตรอน และโครงแบบสถานะพื้นเป็น  $(\sigma_s)^2 (\sigma_s^*)^2$  อันดับพันธะเท่ากับศูนย์ซึ่งเดียวกับ  $He_2$

ดังนั้นเราสามารถวางแผนนัยทั่วไป (generalize) สำหรับธาตุใน s-กลุ่ม คือ หมู่ 1 และ 2 ในตารางธาตุได้ สำหรับหมู่ 1 อันดับพันธะของโมเลกุล 2 อะตอมของนิวเคลียสชนิดเดียวกันจะเป็น 1.0 และเนื่องจากขนาดเพิ่มขึ้นในหมู่เดียว กัน พลังงานพันธะจะลดลง และความยาวพันธะจะเพิ่มขึ้น จาก  $Li_2 \rightarrow Cs_2$  ดังตารางที่ 4.1

ตารางที่ 4.1 ความยาวพันธะ (d) พลังงานพันธะ (D) สำหรับโมเลกุล 2 อะตอมของนิวเคลียสชนิดเดียวกันของธาตุหมู่ 1

สารประกอบ	d, pm	D, $\text{kJ mol}^{-1}$	สารประกอบ	d, pm	D, $\text{kJ mol}^{-1}$
$H_2$	74	432	$K_2$	392	49
$Li_2$	267	110	$Rb_2$	432	47
$Na_2$	308	72	$Cs_2$	470	44

โมเลกุลเหล่านี้มีสองอะตอมในสถานะก้าว แต่เราจะพบว่าในสถานะของแข็งจะมีการเกิดพันธะแบบอื่น สำหรับธาตุหมู่ 2 อันดับพันธะของโมเลกุล 2 อะตอมจะเป็นศูนย์ด้วยเหตุนี้ธาตุในหมู่นี้จะอยู่เป็นอะตอมเดียวในสถานะก้าว

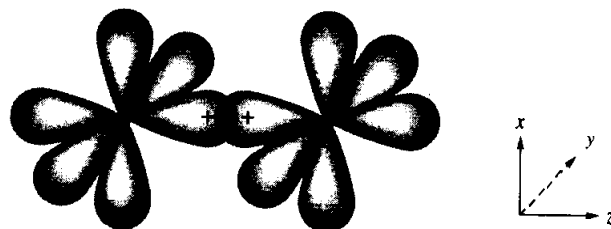
#### 4.5 การล้ากันโดยใช้ p-ออร์บิทัล

โบรอน B มีโครงแบบอิเล็กตรอน  $1s^2 2s^2 2p^1$  มีเวเลนซ์อิเล็กตรอน 3 ตัว และเป็นธาตุที่เบาที่สุดซึ่งมีอิเล็กตรอนใน p-ออร์บิทัล ในการสร้างแผนภาพ MO's สำหรับ  $B_2$

จำเป็นต้องพิจารณาเวลenuซ์ของร์บิตัล กีอชั้น s-และ p-สำหรับแต่ละอะตอม ดังนั้นแผนภาพที่ได้จะต้องมี 8 MO's

พิจารณาการล้ำกันของอร์บิตัลชนิดเดียวกันโดยเริ่มจาก 2s-อร์บิตัล จะได้ผลให้มีอน 1s-อร์บิตัล กีอได้  $\sigma_s$  บอนดิ่ง และ  $\sigma_s^*$  แอนติบอนดิ่งโมเลกุลาร์อร์บิตัล

ต่อมาพิจารณา p-อร์บิตัล เพื่อให้เหมือนกับสัญ尼ยมในทฤษฎีกลุ่ม แกน z ถือว่าเป็นแกนพันธะ การจัดเรียงสัมพัทธ์ของ  $p_x$ ,  $p_y$  และ  $p_z$ -อร์บิตัลของ 2 อะตอม แสดงในรูปที่ 4.4

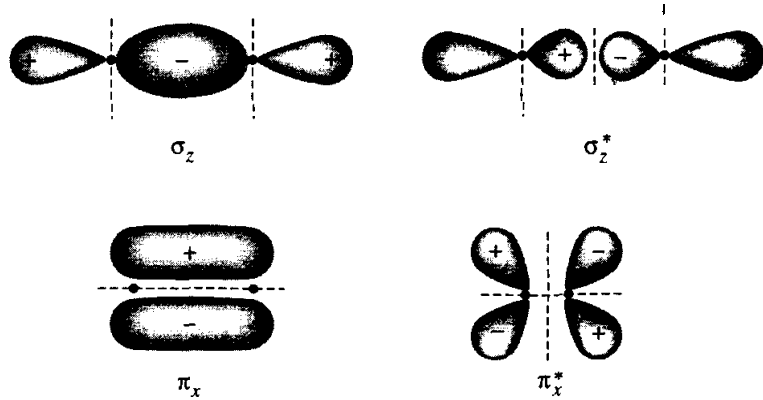


รูปที่ 4.4 การจัดเรียงสัมพัทธ์ของ  $p_x$ ,  $p_y$  และ  $p_z$  อะตอมมิคอร์บิตัลของ  $B_2$

$p_z$ -อร์บิตัลทั้งสองจะรวมกันแบบปลาย-ต่อ-ปลาย (end-to-end) ซึ่งจะให้การล้ำกันในบริเวณเดียวกันเป็น  $\sigma_z$  บอนดิ่ง และ  $\sigma_z^*$  แอนติบอนดิ่ง ซึ่งแบบหลังจะมีโนดผ่านระหว่างนิวเคลียสทั้งสอง

ส่วน  $p_x$  และ  $p_y$  อีก 2 ออร์บิตัลจะรวมกันแบบข้าง-ต่อ-ข้าง (side-to-side) ซึ่งจะให้ลักษณะเฉพาะของการเกิดพันธะแบบ  $\pi$  เนื่องจากมีการล้ำกัน 2 บริเวณให้สัญลักษณ์ว่า  $\pi_x$  และ  $\pi_y$  (ทั้งสองบอนดิ่งโมเลกุลาร์อร์บิตัลนี้มีพลังงานเท่ากัน รวมทั้งขนาดและรูปร่าง เว้นแต่ทิศทางต่างกันเท่านั้น) ส่วนอีกคู่หนึ่งเป็นแอนติบอนดิ่งโมเลกุลาร์อร์บิตัล  $\pi_x^*$  และ  $\pi_y^*$  (รูปที่ 4.5)

$\pi$ -โมเลกุลาร์อร์บิตัลต่างกันแบบ- $\sigma$  ก็คือเมื่อทำการหมุนรอบแกนที่ต่อระหว่างนิวเคลียสแล้วเครื่องหมายพิงก์ชันคลื่นจะเปลี่ยนแปลง



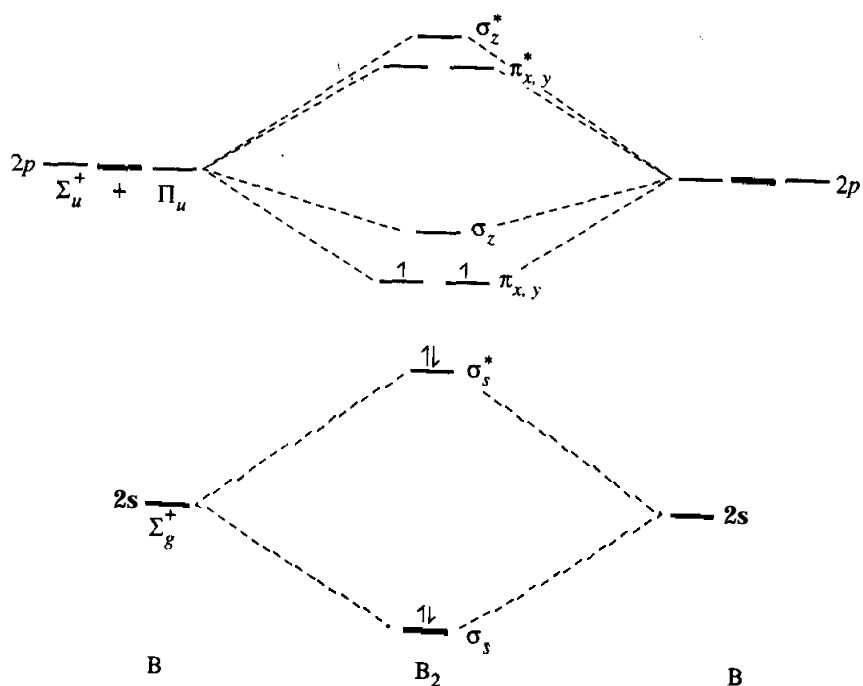
รูปที่ 4.5 แผนภาพ MO's ของ  $B_2$  ซึ่งมี p-ออร์บิตัล แสดงการรวมแบบ  $-\sigma_z$  และ  $-\pi_x$  กับ  $\pi_x^*$  สำหรับ  $\pi_y$  กับ  $\pi_y^*$  เมื่อเทียบกับ  $\pi_x$  กับ  $\pi_x^*$  ทุกประการ แต่อยู่ในแนวแกน y

ทั้งหมดที่กล่าวมานี้ เราได้ 8 MO's จาก 2s- และ 2p-ออร์บิตัล พลังงานสัมพัทธ์ของ MO's เหล่านี้ย่อมแตกต่างกันออกไปเล็กน้อยจากสารประกอบหนึ่งไปยังอีกสารหนึ่ง และเนื่องจาก 2s-AO มีพลังงานต่ำกว่าของ 2p เราอาจกล่าวได้ว่า  $\sigma_s$  และ  $\sigma_s^*$  ย่อมเสถียรที่สุดและแนวโน้มของความเสถียรควรจะลดลงดังนี้

$$\sigma_s > \sigma_s^* > \sigma_z > \pi_{x,y} > \pi_{x,y}^* > \sigma_z^*$$

อย่างไรก็ตามจากข้อมูลทางสารเคมี โครงสร้างและทางแม่เหล็กนั่งว่า ระดับพลังงานของ  $\sigma_z$  และ  $\pi_{x,y}$  นั้นจะกลับกัน แผนภาพระดับพลังงานที่ถูกต้องสำหรับ  $B_2$  แสดงในรูปที่ 4.6

จากแผนภาพของ MO's เราสรุปได้ว่าอันดับพันธะเท่ากัน  $\left(\frac{4-2}{2}\right) = 1.0$  ซึ่งบ่งว่า เป็นพันธะเดียวที่เสถียร พลังงานพันธะจากการทดลองของ  $B_2(g)$  เท่ากับ 274 กิโลจูลต่ำโน้ม น้อยกว่า  $H_2$  ที่ใช้ออร์บิตัล  $n = 1$  ซึ่งเล็กกว่า ทำให้การล้ากันของออร์บิตัลคิดว่า พันธะจึงแข็งแรงกว่า สำหรับ  $Li_2$  ซึ่งพลังงานพันธะเท่ากัน 110 กิโลจูลต่ำโน้ม ทั้งที่ใช้ออร์บิตัลของ  $n = 2$  เมื่อเทียบ แต่  $Li$  นั้นใหญ่กว่า  $B$  ดังนั้นพลังงานพันธะจึงน้อยกว่า นอกจากนี้ความยาวพันธะของ  $B_2$  ยังเท่ากับ 159 พิโคเมตร ซึ่งอยู่กลางระหว่าง  $H_2$  และ  $Li_2$



รูปที่ 4.6 แผนภาพโมเลกุลาร์อิเล็กตรอนตัวสำหรับ  $B_2$  ซึ่งเป็นพาราเมกเนติกและมีอันดับพันธะเท่ากับ 1.0

นอกจากนี้เรายังสรุปจากแผนภาพได้อีกว่า กวักของสุนคัญคงประยุกต์ใช้ได้ ทั้งนี้เนื่องจากการที่มีอิเล็กตรอนเดี่ยว 2 ตัว ในสถานะพื้น ซึ่งก็ตรงกับข้อมูลทางการทดลองที่พบว่าเป็นพาราเมกเนติก (และสนับสนุนอีกว่าอิเล็กตรอนจะบรรจุใน  $\pi_{x,y}$  ก่อน  $\sigma_z$ )

ดังนั้นแผนภาพ MO's สำหรับโมเลกุล 2 อะตอม ในหมู่ 1 และหมู่ 2 จะมีรูปแบบเหมือนกัน แต่ต่างกันที่จำนวนอิเล็กตรอน และเช่นเดียวกับธาตุใน p-บล็อก ตั้งแต่หมู่ 13-18 ก็มี MO's คล้ายกันของ  $B_2$  แต่จำนวนเวลน์อิเล็กตรอนและอันดับพันธะต่างกันไปจากหมู่หนึ่งไปยังหมู่หนึ่ง ผู้อ่านจะต้องพิสูจน์ได้ว่าอันดับพันธะซึ่งประมวลจากรูปที่ 4.6 จะต้องเป็นดังนี้ :

หมู่ที่	13	14	15	16	17	18
อันดับพันธะ	1.0	2.0	3.0	2.0	1.0	0.0

โนเลกุล 2 อะตอมในหมู่ 18 เหมือนกับในหมู่ 2 คือมีอันดับพันธะเท่ากับ 0.0 ซึ่งจะพบว่าธาตุต่างๆเหล่านี้เป็นอะตอมเดี่ยวในวัสดุภาคก๊าซ

ค่าพลังงานพันธะและความยาวพันธะสำหรับหมู่ 13 - 17 แสดงในตารางที่ 4.2

ตารางที่ 4.2 อันดับพันธะ ความยาวพันธะและความยาวพันธะสำหรับโนเลกุล 2 อะตอมที่เหมือนกันหมู่ที่ 13 - 17

สเปซีฟ์	d, pm	D, $\text{kJ mol}^{-1}$
Group 13 (Bond order = 1.0)		
$\text{B}_2$	159	274
Group 14 (Bond order = 2.0)		
$\text{C}_2$		593
$\text{Si}_2$	225	314
$\text{Ge}_2$	—	272
$\text{Sn}_2$	—	192
$\text{Pb}_2$		96
Group 15 (Bond order = 3.0)		
$\text{N}_2$	110	942
$\text{P}_2$	189	483
$\text{As}_2$	229	380
$\text{Sb}_2$	221	295
Bi,		195
Group 16 (Bond order = 2.0)		
$\text{O}_2$	121	494
$\text{S}_2$	189	425
$\text{Se}_2$	217	305
$\text{Te}_2$	256	223
Group 17 (Bond order = 1.0)		
$\text{F}_2$	142	154
$\text{Cl}_2$	199	240
$\text{Br}_2$	228	190
$\text{I}_2$	267	149

#### 4.6 บทบาทของสมมาตร (The Role of Symmetry)

จากตารางข้อตัดสัญญาณในภาคผนวก เราจะพบว่าพื้นที่กรุ๊ปสำหรับโมเลกุล 2 อะตอม ที่เหมือนกันคือ  $D_{\infty_h}$  และในกลุ่มที่มีแกน  $C_\infty$  นี้ ตัวแทนแบบลดทอนไม่ได้มักจะใช้ สัญลักษณ์เป็นอักษรกรีกแทนสัญลักษณ์ปกติ  $A, B, E$  และ  $T$  ดังนั้นในสมมาตร  $D_{\infty_h}$  s- และ p- อะตอมมิคօร์บิตัลจะแปลง (transform) ดังนี้ :

$$\begin{aligned}s &\rightarrow \Sigma_g^+ \\ p_{x,y} &\rightarrow \Pi_u \\ p_z &\rightarrow \Sigma_u^+\end{aligned}$$

ดังสัญลักษณ์ที่แสดงในรูปที่ 4.6 จากที่ได้กล่าวไว้ดังต่อไปนี้ วิธีการรวมเชิงเส้นของอะตอมมิคօร์บิตัลนี้จะต้อง มีสมมาตรเหมือนกันจึงจะรวมกัน และจากสมมาตรดังกล่าวนี้ทำให้เราทราบว่าเหตุใดการกำหนดชื่อของโมเลกุลาร์օร์บิตัลจึงเป็น  $\sigma$ - และ  $\pi$ -MO's (จำไว้ว่าตัวแทนแบบลดทอนไม่ได้จะใช้เป็นอักษรตัวใหญ่ ขณะที่โมเลกุลาร์օร์บิตัลจะใช้สัญลักษณ์ตัวเล็ก) และการที่  $\pi$ -MO's มีดีเจนเนอเรชีเท่ากัน 2 ก็เนื่องจาก  $p_x$  และ  $p_y$ -օร์บิตัลนี้คือเงินเนอเรต (มีพลังงานเท่ากัน) ในพื้นที่กรุ๊ป  $D_{\infty_h}$

ด้วยเหตุนี้การใส่ชื่อ MO's ต่างๆ นั้นย่อมถูกต้องในแห่งที่ว่า รูปร่างของ MO นั้น แปลงเข้าสู่ตัวแทนแบบลดทอนไม่ได้ซึ่งมีสมมาตรแบบใด ( $\sigma$ - หรือ  $\pi$ ) ตัวอย่างเช่น  $\sigma_s$  และ  $\sigma_s^*$  แปลงได้เป็น  $\Sigma_g^+$  และ  $\Sigma_u^+$  ดังนั้นเราจึงใช้สัญลักษณ์เป็น  $-\sigma$

$D_{\infty_h}$	$E$	$2C_\alpha$	$\alpha\sigma_v$	$i$	$2S_\alpha$	$\alpha C_2$	
$\sigma_s$	1	1	1	1	1	1	$=\Sigma_g^+$
$\sigma_s^*$	1	1	1	-1	-1	-1	$=\Sigma_u^+$

ผู้อ่านควรจะพิสูจน์ได้เช่นกันว่า  $\pi_{x,y}$  แปลงเป็น  $\Pi_u$ ;  $\sigma_z$  เป็น  $\Sigma_g^+$ ;  $\pi_{x,y}^*$  เป็น  $\Pi_g$  และ  $\sigma_z^*$  เป็น  $\Sigma_u^+$

#### 4.7 อันตรกิริยาระหว่างโครงแบบ (Configuration Interaction)

ตัวอย่างของการเกิดอันตรกิริยาระหว่างโครงแบบ ได้แก่ การผสมแบบทุติกูนิของ s-p ออร์บิทัล (secondary s-p mixing)

ได้เชกกล่าวไว้ว่า ลำดับของพลังงานของโนเลกูลาร์ออร์บิทัลจะไม่เหมือนกันในโนเลกูล 2 อะตอมที่เหมือนกัน ในบางกรณี  $\sigma_z$  จะเสถียรน้อยกว่า  $\pi_{x,y}$  จากไฟโตอิเล็กตรอนสเปกโตรสโคป พบว่า  $B_2$ ,  $C_2$  และ  $N_2$  มีลำดับของพลังงาน MO's ดังรูปที่ 4.6 อย่างไรก็ตามสำหรับ  $O_2$  และ  $F_2$  จะพบว่า  $\sigma_z$  จะมีพลังงานต่ำกว่า  $\pi_{x,y}$  เหตุใดจึงเป็นเช่นนี้

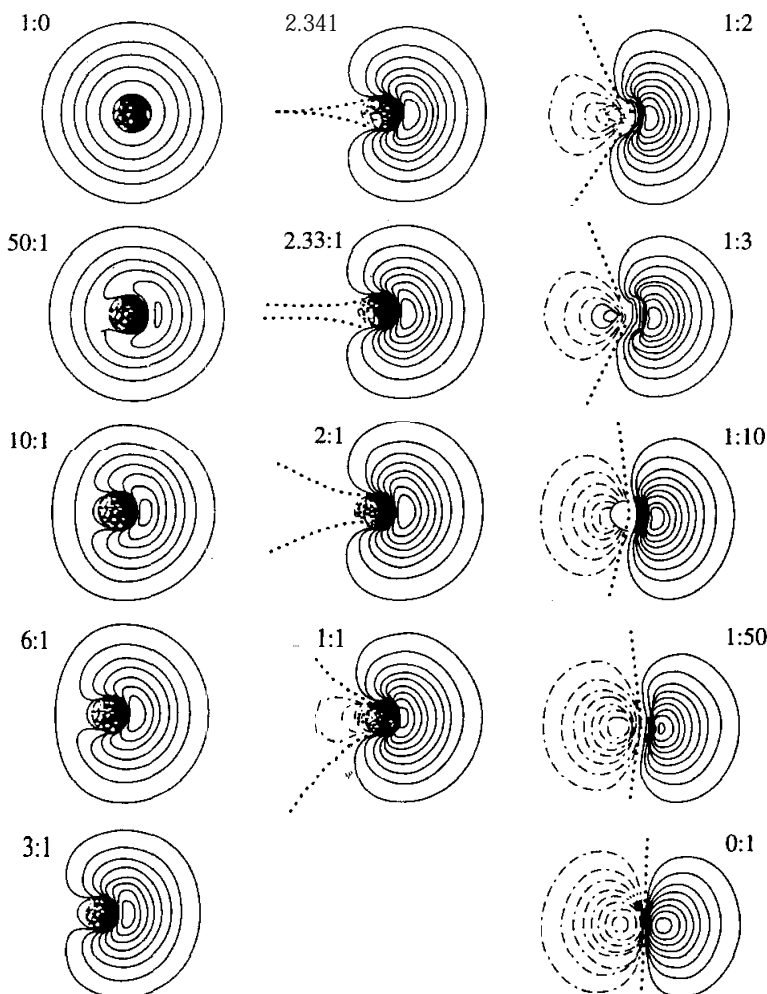
จากวิธี LCAO ซึ่งเกี่ยวข้องกับการผสมกันของ AO's จากอะตอมที่ต่างกัน เนื่องจากวิธีนี้ตั้งอยู่บนข้อเท็จจริงทางคณิตศาสตร์ก็ย่อมจะครอบคลุมถึงการผสมกันของออร์บิทัลต่างๆ จากสเปชีสเดียวกันด้วย (ในกรณีที่มีสมบัติทางสมมาตรเหมือนกัน) สำหรับโนเลกูล 2 อะตอมที่เหมือนกันทั้ง  $\sigma_s$  และ  $\sigma_z$  MO's ต่างก็มีตัวแทนแบบลดthon ไม่ได้เป็น  $\Sigma_g^+$  ด้วยเหตุนี้จึงมี อันตรกิริยา ระหว่างโครงแบบทั้งสอง ผลที่ได้ก็คือได้ออร์บิทัลใหม่ 2 ออร์บิทัล (daughter orbitals) ซึ่งออร์บิทัลหนึ่งมีพลังงานต่ำลง ส่วนอีกออร์บิทัลหนึ่งมีพลังงานสูงขึ้น นั่นคือ 2 ออร์บิทัลเดิมจะมีพลังงานแยกจากกัน

สมการ LCAO สำหรับการผสม s-p ออร์บิทัล

$$\Psi_{sp} = c_s \phi_s + c_z \phi_z \quad (4.12)$$

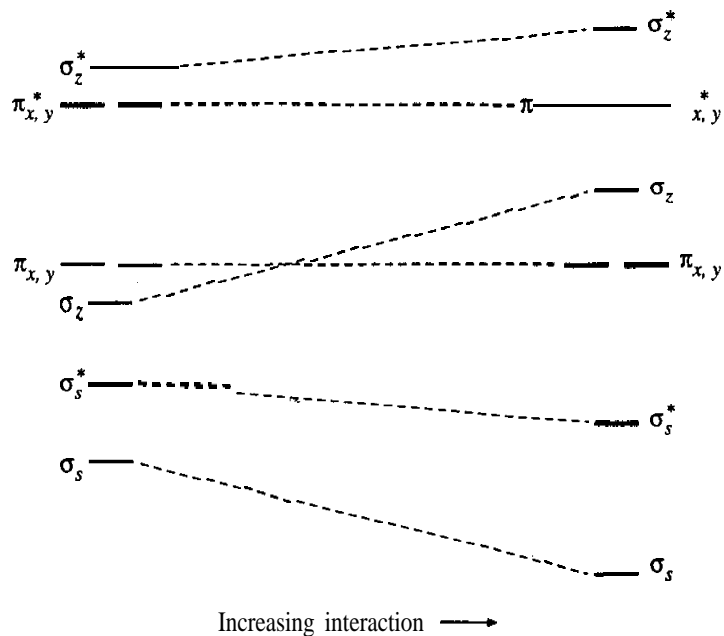
อัตราส่วนของสัมประสิทธิ์ความสำคัญ  $c_s/c_z$  จะมีค่าเท่าใดก็ได้ และอัตราส่วนนี้จะมีผลต่อรูปร่างของโนเลกูลาร์ออร์บิทัลที่เราศึกษาดังแสดงในรูปที่ 4.7

ในทำนองเดียวกัน  $\sigma_s^*$  และ  $\sigma_z^*$  ก็ผสมกันได้ เนื่องจากมีสมมาตร  $\Sigma_u^+$  เมื่อันกันผลของระดับพลังงานสัมพัทธ์ (relative energies) ของออร์บิทัลแสดงในรูปที่ 4.8 ซึ่งเดิมจะเห็นว่า  $\sigma_z$  เสถียรมากกว่า  $\pi_{x,y}$  เนื่องจากเรารู้ว่าพันธะ  $\sigma$  ย่อมเสถียรกว่าพันธะ  $\pi$  อย่างไรก็ตามเมื่อมีการผสม  $\sigma_z$  จะเสถียรน้อยลง และถ้าอันตรกิริยาดังกล่าวแรงมากพอจะทำให้ลำดับของพลังงานกลับกันได้



รูปที่ 4.7 พล็อตเส้นทาง (contour) แสดงรูปร่างที่ได้จากการผสมของ  $s$ - และ  $p_z$ -ออร์บิทัลในสัดส่วนต่างๆ (เส้นทึบและเส้นประแสดงถึงบริเวณที่แอมพลิจูดคลื่นเป็นมากและลบตามลำดับ ส่วนเส้นที่เป็นจุดแสดงถึง-none)

ปัญหายังคงมีอยู่ว่าเหตุใดพลังงานของ  $\sigma_z$  และ  $\pi_{x,y}$  ของ  $O_2$  และ  $F_2$  จึงไม่กลับกันเหมือนโมเลกุลอื่น ทั้งนี้ เพราะ 2s และ 2p AO's ของแต่ละอะตอมมีพลังงานแตกต่างกันมาก ดังนั้น  $\sigma_s$  และ  $\sigma_z$  ที่มีพลังงานต่างกันมากด้วย



**รูปที่ 4.8** ผลของอันตรกิริยาระหว่างโครงแบบที่มีต่อพลังงานของร่องวิตัลของโนเลกุล 2 อะตอมที่เหมือนกัน

พลังงานระหว่าง 2s-2p สามารถคำนวณได้จาก VSIE (ตารางที่ 1.8) และได้นำมาเปรียบเทียบไว้ในตารางที่ 4.3 ซึ่งจะเห็นว่าพลังงานที่ต่างกันมากของ 2s-2p ใน O และ F ทำให้ผลการผสมกันของ s-p ของร่องวิตัลใน O<sub>2</sub> และ F<sub>2</sub> จึงเป็นเหตุให้มีโครงแบบสถานะพื้นต่างจากโนเลกุลอื่นๆ

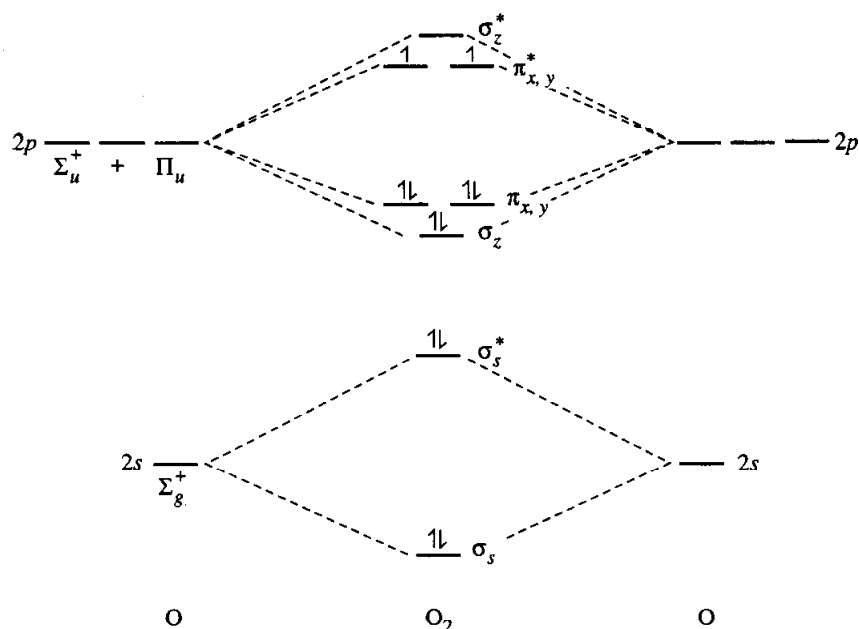
**ตารางที่ 4.3** ผลต่างของพลังงานระหว่าง 2s-2p ของร่องวิตัลสำหรับธาตุจาก B → F

ธาตุ	E(2s), eV	E(2p), eV	ΔE, eV
B	- 14.0	- 8.3	5.1
C	- 19.4	- 10.6	8.8
N	- 25.6	- 13.2	12.4
O	- 32.3	- 15.8	16.5
F	- 40.2	- 18.6	21.6

## 4.8 ออกซิเดชัน-รีดักชันของโมเลกุลสองอะตอม : ฟรอนทิเออร์อร์บิทัล

### (Frontier Orbitals)

แผนภาพ MO's ที่ถูกต้องสำหรับ  $O_2$  แสดงในรูปที่ 4.9 ให้สังเกตว่าจากการทดลอง



รูปที่ 4.9 แผนภาพโมเลกุลาร์ออร์บิทัลสำหรับ  $O_2$  การผสมกันของ s-p<sub>z</sub> ถูกจำกัดโดยช่องว่างของระดับพลังงานของ 2s และ 2p

ที่แสดงว่า  $O_2$  เป็นพารานเมกเนติก สอดคล้องกับแผนภาพนี้ คือมีอิเล็กตรอนเดียว 2 ตัว และอธินายได้ว่านีองจากไม่มีการผสมแบบทุติยภูมิย่างแรงเกิดขึ้น

ถ้าพิจารณาการให้และการรับอิเล็กตรอน (electron gain and loss) จากรูปที่ 4.9 นี้ จะเห็นว่า ออร์บิทัลซึ่งมีอิเล็กตรอนบรรจุอยู่ที่มีระดับสูงสุด (highest occupied molecular orbital หรือ HOMO) สำหรับ  $O_2$  ก็คือ  $\pi_{x,y}^*$  เนื่องจากเป็นแอนติบอนดิنجมีระดับพลังงานสูงกว่า 2p- ของ O แต่ละอะตอม พลังงานอิオอินเซชันที่หนึ่ง (1<sup>st</sup> IE) ของ  $O_2$  จะน้อยกว่าของ O อะตอม (12.2 eV เมื่อเทียบกับ 13.6 eV ของ O) และการดึงอิเล็กตรอนหนึ่งตัว

ออกจาก  $O_2$  จะเพิ่มอันดับพันธะจาก 2.0 ไปเป็น 2.5 ด้วย ดังนั้นพลังงานพันธะของ  $O_2^+$  (oxygenyl cation) ย่อมมากกว่าของ  $O_2$  และความยาวพันธะก็สั้นกว่าด้วย

ในทางกลับกันถ้าเดินอิเล็กตรอนหนึ่งตัวเข้าไปยัง  $O_2$  เพื่อให้เป็น  $O_2^-$  (superoxide ion) อิเล็กตรอนจะเข้าไปยัง ออร์บิทัลที่ยังขาดอิเล็กตรอนที่อยู่ในระดับที่ต่ำสุด (lowest unoccupied molecular orbital หรือ LUMO) ซึ่งในที่นี้คือ  $\pi_{x,y}^*$  เช่นกัน อันดับพันธะใหม่จะเป็น 1.5 การรีดักชันจะทำให้พันธะ O-O อ่อนและยาวขึ้น และถ้าเดินอิเล็กตรอนตัวที่สองเข้าไปจะทำให้เกิด  $O_2^{2-}$  (peroxide ion) ซึ่งมีอันดับพันธะเท่ากับ 1.0

ตารางที่ 4.4 อันดับพันธะ ความยาวพันธะและพลังงานพันธะสำหรับสารประกอบ หรืออิออน 2 อะตอมที่มีออกซิเจนเป็นองค์ประกอบอยู่ด้วย

สปีชีส์	อันดับพันธะ	d, pm	D, $\text{kJ mol}^{-1}$
$O_2^+$	2.5	112	—
$O_2$	2.0	121	494
$O_2^-$	1.5	126	393
$O_2^{2-}$	1.0	149	—
O H	1.0	97	424
c o	3.0	113	1072
SiO	3.0	151	765
GeO	3.0	165	657
SnO	3.0	184	529
N O	2.5	115	628
NO+	3.0	106	950
P O	2.5	147	592
AsO	2.5	162	473
SO	2.0	148	517
SeO	2.0		423

ตารางที่ 4.4 ให้ข้อมูลทางการทดลองของโนเลกุล 2 อะตอม และผู้อ่านจะพบว่าค่าเหล่านี้แสดงให้เห็นจริงได้โดยทฤษฎีโนเลกุลาร์อร์บิทัล ทั้ง HOMO และ LUMO มักเรียกรวมกันว่า ฟรอนท์อิออร์บิทัล (frontier orbitals) และเนื่องจากเป็นตำแหน่งในการ

เกิดของซีเดชันหรือรีดักชัน ออร์บิตัลที่กล่าวนี้จึงมีความสำคัญมากในแผนภาพโมเลกุลาร์ ออร์บิตัล

#### 4.9 การล้ากันโดยใช้ d- ออร์บิตัล

ลักษณะเฉพาะของโลหะทรานซิชันคือ d-ออร์บิตัลมีอิเล็กตรอนบรรจุอยู่บางส่วน และเข่นเดียวกับธาตุหมู่ 1 โลหะทรานซิชันส่วนใหญ่จะมีการจัดเรียงอะตอม 3 มิติในสถานะปกติ แต่อาร์มี 2 อะตอมได้ในวัญภาคกําช (gas phase) ถ้าลองเขียน MO ที่เกี่ยวข้องกับ d- ออร์บิตัลบ้าง โดยใช้ Cr [Ar 4s<sup>1</sup>3d<sup>5</sup>] เป็นแบบจำลอง โมเลกุล 2 อะตอม Cr<sub>2</sub> ที่เสถียรในความหมายที่ว่าสามารถเตรียมและศึกษาทางสเปกโตรสโคปิภัยในสภาวะที่เหมาะสมได้

เวลน์ชื่อออร์บิตัลของ Cr ถือได้ว่าเป็น 4s- และ 3d- ออร์บิตัลทั้ง 5 โดยถือว่า 4s เสถียรกว่าเล็กน้อย(อันดับนี้จะกลับกันในอนุกรมทรานซิชันด้วยหลังๆ และโลหะแคตอิอ่อน) ในการสร้างแผนภาพ MO สำหรับ Cr<sub>2</sub> เราเริ่มจากการรวมของ 4s- ออร์บิตัลทั้งสองได้ σ<sub>s</sub> และ σ<sub>s</sub>\* MO's ที่เราเริ่มจากกันคืออยู่แล้ว

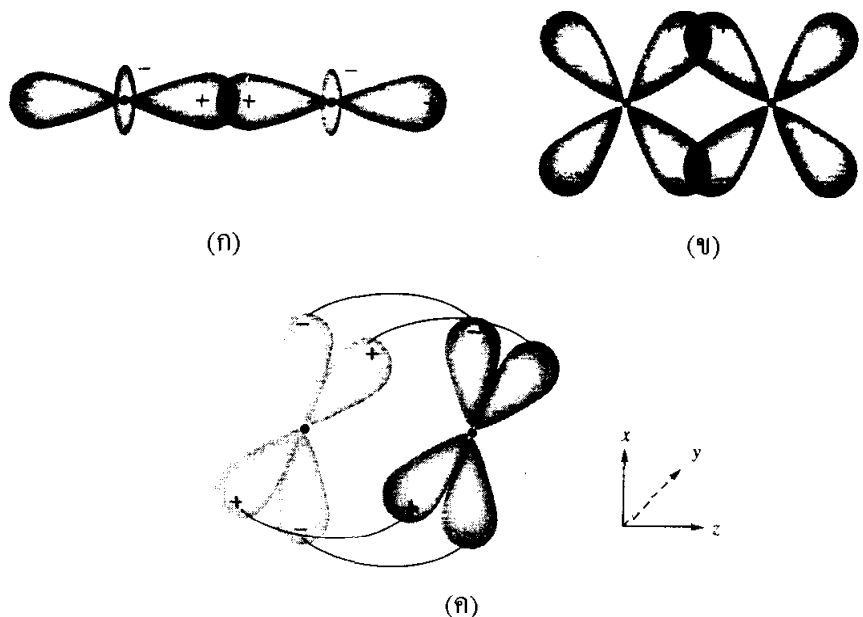
ส่วน d- ออร์บิตัลจะรวมกันได้ดังนี้ :

1. อันตรกิริยา d<sub>z<sup>2</sup></sub>-d<sub>z<sup>2</sup></sub> (แบบ -σ) : ถือว่าแกน z เป็นแกนของพันธะ การล้ากันแบบปลาย-ต่อ-ปลายของ d<sub>z<sup>2</sup></sub>-ออร์บิตัลทั้งสองจะเกิด σ<sub>z</sub> และ σ<sub>z</sub>\* - ออร์บิตัล

2. อันตรกิริยา d<sub>xz</sub>-d<sub>xz</sub> และ d<sub>yz</sub>-d<sub>yz</sub> (แบบ-π) : อันตรกิริยาเหล่านี้ได้จากการล้ากันแบบข้าง-ต่อ-ข้าง จะได้บนดิจิล ออร์บิตัลที่มีพลังงานเท่ากัน 2 ออร์บิตัล และแอนติบอนดิنجที่มีพลังงานเท่ากัน 2 ออร์บิตัลด้วย พันธะเป็นแบบ π เนื่องจากมีการล้ากัน 2 บริเวณ

3. อันตรกิริยา d<sub>xy</sub> - d<sub>xy</sub> และ d<sub>x<sup>2</sup>-y<sup>2</sup></sub> - d<sub>x<sup>2</sup>-y<sup>2</sup></sub> (แบบ-δ) : เป็นการล้ากันทั้ง 4 พูของออร์บิตัล ได้บนดิจิล ออร์บิตัลที่มีพลังงานเท่ากัน 2 ออร์บิตัล (δ) และแอนติบอนดิنجที่มีพลังงานเท่ากัน 2 ออร์บิตัล (δ\*)

รูปสเก็ตช์ของ MO's เหล่านี้แสดงในรูปที่ 4.10

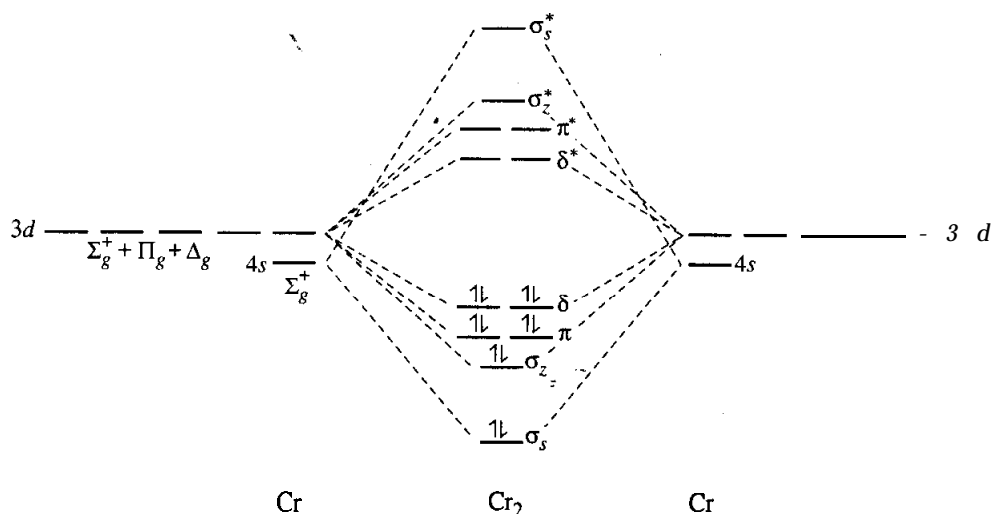


รูปที่ 4.10 แบบของการล้ากันของ d- ออร์บิตัลในโมเลกุล 2 อะตอมที่เหมือนกัน  $\text{Cr}_2$  (ก) พันธะ  $\sigma$  จากการล้ากันของ  $d_{z^2}$  2 ออร์บิตัล (ข) พันธะ  $\pi$  จากการล้ากันของ  $d_{xz}$  2 ออร์บิตัล (หรือ  $d_{yz}$  2 ออร์บิตัล) (ค) พันธะ  $\delta$  จากการล้ากันของ  $d_{xy}$  2 ออร์บิตัล (หรือ  $d_{x^2-y^2}$  2 ออร์บิตัล)

จากกฎทั่วไป พันธะ- $\sigma$  มีแนวโน้มที่จะแข็งแรงกว่าพันธะ- $\pi$  ซึ่งก็แข็งแรงกว่า พันธะ- $\delta$  พลังงานสัมพัทธ์ของ MO's ทั้ง 10 ออร์บิตัล ที่มี d- ออร์บิตัลเป็นอะตอมมิค ออร์บิตัลเดินน่าจะเป็น

$$\sigma < \pi < \delta < \delta^* < \pi^* < \sigma^*$$

เนื่องจากมี 12 เวลาenซ์อิเล็กตรอน บนดิจิทัลทั้ง 6 ออร์บิตัลจึงมีอิเล็กตรอนบรรจุอยู่เต็ม เราจึงคำนวณอันดับพันธะได้ 6.0 อย่างไรก็ตามพลังงานพันธะจากการทดลอง มีค่าเพียง 255 กิโลจูลต่ำโมล ซึ่งน้อยเมื่อเทียบกับอันดับพันธะ แสดงให้เห็นว่า พันธะ- $\pi$  และพันธะ- $\delta$  นั้นอ่อน



รูปที่ 4.11 แผนภาพโมเลกุลาร์ออร์บิทัลของ  $\text{Cr}_2$  (พิจารณาเฉพาะ 3d และ 4s- ออร์บิทัล) อันดับพันธะบ่งชี้ว่าเป็น 6.0 และ โมเลกุลเป็น ไดอะแมกเนติก

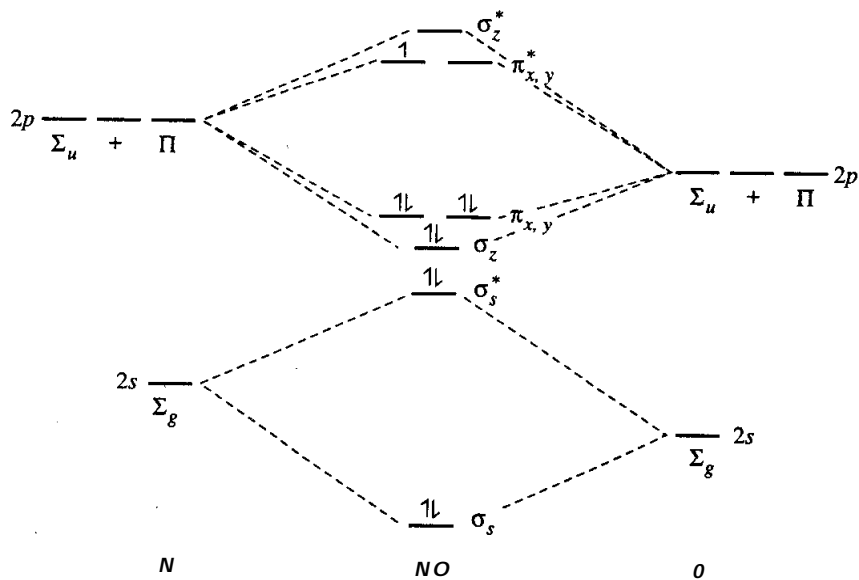
แผนภาพโมเลกุลาร์ออร์บิทัลสำหรับโมเลกุล 2 อะตอมที่เหมือนกันสำหรับธาตุ d- บล็อกอื่นๆ สามารถเขียนได้ในทำนองเดียวกันนี้

#### 4.10 โมเลกุลสองอะตอมต่างชนิดกัน (Heteronuclear Diatomic Molecule)

การผสมออร์บิทัลจากอะตอมต่างชนิดกัน ตัวอย่าง ได้แก่ NO (nitric oxide) ซึ่ง เวลาenช้อร์บิทัลคือ 2s และ 2p จากแต่ละอะตอมเข้ารวมกันได้ 8 โมเลกุลาร์ออร์บิทัล ซึ่ง คล้ายกับของ  $\text{O}_2$  ในกรณีนี้เกิดการผสมแบบทุติยภูมิได้ยาก ทั้งนี้เพราะพลังงาน 2s-2p ของ O ต่างกันมาก

จากแผนภาพ MO (รูปที่ 4.12) แสดงอันดับพันธะเท่ากัน  $\left(\frac{8-3}{2}\right) = 2.5$  พลังงาน

พันธะจากการทดลองเท่ากับ 628 กิโลโกรัมต่้อมล และความยาวพันธะเท่ากับ 115 พิโคเมตร ยืนยันว่าอันดับพันธะอยู่ระหว่าง 2-3 (เปรียบเทียบกับ  $\text{O}=\text{O}$  และ  $\text{N}\equiv\text{N}$  ในตารางที่ 4.2)



รูปที่ 4.12 แผนภาพโมเลกุลาร์ออร์บิทัลสำหรับ NO

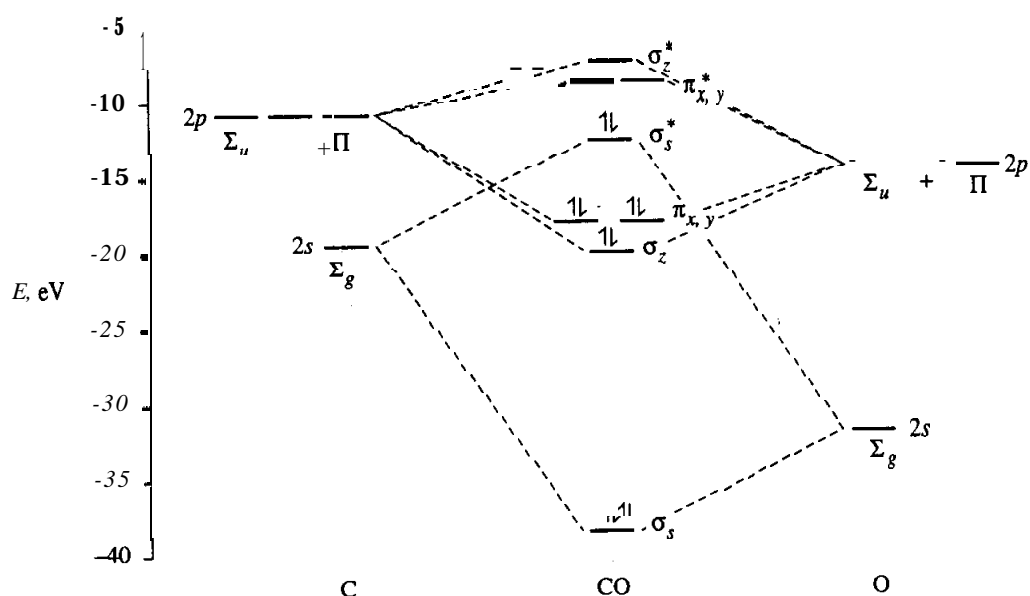
ให้สังเกตความแตกต่างระหว่างแผนภาพ MO's ในรูปที่ 4.12 กับของโมเลกุล 2 อะตอมชนิดเดียวกัน แผนภาพของ NO (และในโมเลกุลอะตอมต่างชนิดอื่นๆ) จะมีระดับพลังงานของอะตอมมิคของ O 2 ข้างแตกต่างกัน ข้อนกลับไปดูจากตารางที่ 4.3 จะเห็นว่าเวลน์ช์ออร์บิทัลของ O นั้นเสถียรกว่าของ N เนื่องจากพลังงานของเต็ลอะตอมมิค ออร์บิทัลไม่เท่ากัน สัมประสิทธิ์ของความสำคัญจึงไม่เท่ากัน นั่นคือโมเลกุลาร์ออร์บิทัลใดๆ ก็ตาม  $c_N \neq c_O$  ตัวอย่างเช่น  $\sigma_s$  (และบนดิบของออร์บิทัลอื่นๆ) จะมีพลังงานใกล้เคียงกับ O มากกว่า N หรือ  $c_O > c_N$  สำหรับ  $\sigma_s^*$  และบนดิบของออร์บิทัลอื่นๆ  $c_O < c_N$

ความรู้เกี่ยวกับเรื่องนี้มีนัยสำคัญสำหรับฟรอนทิเออร์ออร์บิทัล ที่ HOMO และ LUMO อยู่ใน  $\pi_{x,y}^*$  ซึ่งจะแสดงลักษณะของ N มากกว่า (เพราะว่าอยู่ใกล้ 2p- ของ N) ดังนั้นอิเล็กตรอนเดียวจะอยู่ใน N อะตอมเป็นส่วนใหญ่ การทำนายนี้ตรงกับปฏิกริยาเคมีของ

NO ซึ่งการออกซิเดชันและรีดักชันที่มีการให้หรือรับอิเล็กตรอนหนึ่งตัวนั้นจะเกิดขึ้นที่ N อะตอม

การรวมของอะตอมที่มีพลังงานของเวลน์ช้อร์บิทัล ต่างกันมาก จะได้เเพนภาพโนเมกุลาร์ออร์บิทัลเชิงคุณภาพแตกต่างกันออกไป ลองพิจารณา CO (carbon monoxide) ซึ่งพลังงานสัมพัทธ์ของเวลน์ช้อร์บิทัลมีดังนี้ :

อะตอม	E (2s), eV	E (2p), eV
C	-19.4	-10.6
O	-32.3	-15.8

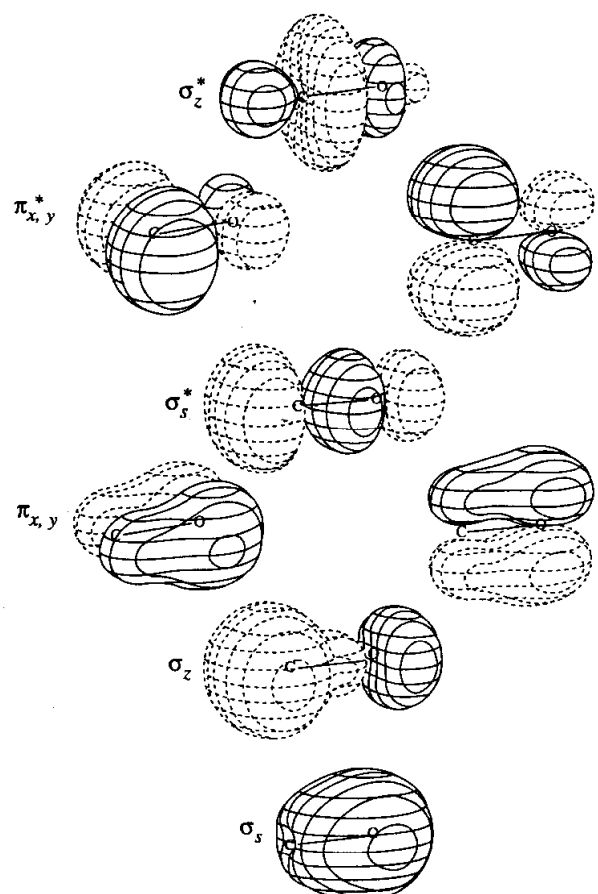


รูปที่ 4.13 โนเมกุลาร์ออร์บิทัลและพลังงานโดยประมาณสำหรับ CO (HOMO ได้แก่  $\sigma_s^*$  ออร์บิทัลซึ่งแสดงลักษณะของ C อะตอม)

เช่นเดียวกับ  $O_2$  และ NO คือมีข้อจำกัดในการเกิดการผสมแบบทุติยภูมิ ดังนั้น  $\sigma_z$  จึงอยู่ต่ำกว่า  $\pi_{x,y}$  (อย่างไรก็ตามยังมีอันตรกิริยา s-p อยู่บ้าง) เนื่องจากระดับพลังงานระหว่าง 2s- ออร์บิทัลของ C และ O ต่างกันมาก จึงมีผลต่อ  $\sigma_s^*$  ซึ่งเสถียรน้อยลงในเเพน

ภาพรูปที่ 4.13 ให้สังเกตว่าความเสถียรของอิเล็กตรอนที่  $\sigma_z^*$  เสถียรน้อยกว่าทั้ง  $\sigma_z$  และ  $\pi_{x,y}$  อันดับพันธะเท่ากัน 3.0 (นั่นคือบ่งถึงพันธะสาม) และอิเล็กตรอนทั้งหมดอยู่เป็นคู่

รูปที่ 4.13 สอดคล้องกับข้อมูลทางการทดลองหลายอย่าง CO เป็นไดอะเมกแนติก ความยาวพันธะ 113 พิโภคเมตร และพลังงานพันธะ 1072 กิโลจูลต่ำโน้ม ซึ่งสอดคล้องกับพันธะสาม พฤติกรรมทางเคมีบ่งว่า HOMO มีลักษณะของ C เด่น สารประกอบนี้เป็นเบสแบบแลวิสที่ดี (ตัวให้อิเล็กตรอนคู่) โดยเฉพาะกับโลหะทรานซิชัน อันตรกิริยาดังกล่าว จึงมักให้ผลการเชื่อมโยง(linkage)เป็นแบบ M-C-O แทนที่จะเป็น M-O-C นั่นคือ อิเล็กตรอนที่ให้ไปจากอิเล็กตรอนที่มีลักษณะเฉพาะของ C



รูปที่ 4.14 แผนภาพเส้นทางสำหรับโมเลกุลาร์อิเล็กตรอลของ CO

ถึงแม้ว่าจะไม่ได้กล่าวถึงการผสมของ s-p เลย แต่จากแผนภาพเส้นทางของ MO's ของ CO ที่ได้จากการพิวเตอร์ (โดยเฉพาะ  $\sigma_z$  และ  $\sigma_z^*$ ) แสดงรูปร่างซึ่งบ่งบอกว่ามีการผสมของ s- $p_z$  ดังในรูปที่ 4.14

#### 4.10.1 ไฮโดรเจนฟลูออไรด์ : อนอนอนดิงออร์บิตัล (Nonbonding Orbitals)

โนมเลกุลที่จะพิจารณาต่อไปนี้ได้แก่ HF (hydrogen fluoride) ซึ่งมี 5 เวลาเนช์อะตอมมิค ออร์บิตัล คือ 1s ของ H ; 2s- และ 2p's ทั้งสามของ F และมีทั้งหมด 8 เวลาเนช์อิเล็กตรอน

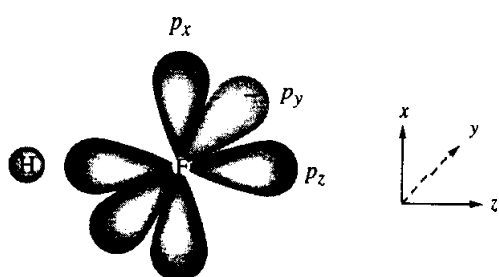
ในตอนแรกเราจะต้องพิจารณา ก่อนว่า F- ออร์บิตัลใดจะล้ำกันกับของ 1s ของ H จากการแปลงสมมาตรที่เกี่ยวข้องกันในกลุ่ม  $C_{\alpha_v}$  จะพบว่า

$$s \rightarrow \Sigma^+$$

$$p_x, p_y \rightarrow \Pi$$

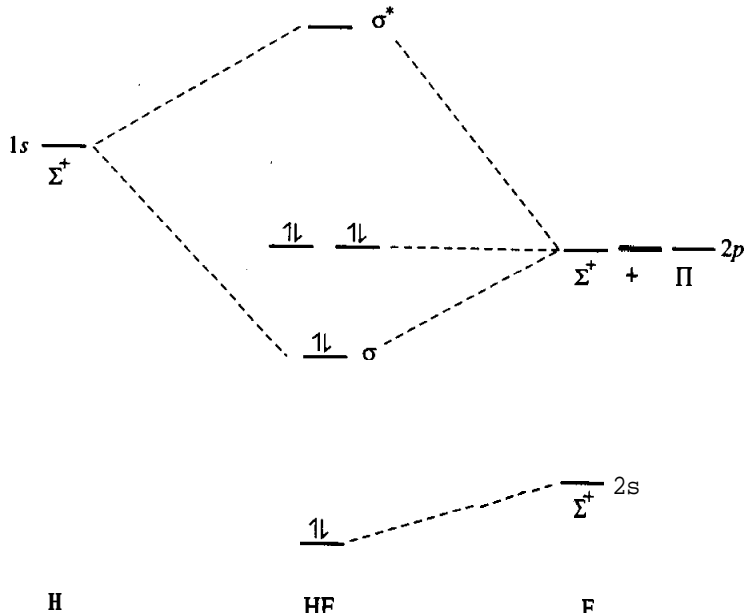
$$p_z \rightarrow \Sigma^+$$

ดังนั้น 2s- และ 2p<sub>z</sub>-ออร์บิตัลของ F จะมีสมมาตรที่เหมาสมที่จะล้ำกับ 1s-H แต่ 2p<sub>x</sub> และ 2p<sub>y</sub> ของ F จะไม่เกิดการล้ำกัน ดังรูปที่ 4.15



รูปที่ 4.15 การจัดเรียงทิศทางของ 2p- ออร์บิตัลของ F สัมพัทธ์กับ 1s ของ H ใน HF (การล้ำกันที่เป็นไปได้จะเกิดกับ p<sub>z</sub> เท่านั้น)

การเกิดพันธะระหว่าง  $1s-H กับ  $2p_x$  หรือ  $2p_y$  นั้นเป็นไปไม่ได้ เพราะว่าบริเวณการล้ากันแบบบวก (+/+) ถูกหักล้างกันโดยบริเวณที่เป็นลบ (-/-) ดังนั้นโอกาสที่จะเป็นไปได้ก็คือ  $2s-F หรือ  $2p_z$ -F พลังงานออร์บิทัลของ  $1s-H เท่ากับ 13.6 eV ;  $2s-F เท่ากับ 40.2 eV และ  $2p_z$ -F เท่ากับ 18.6 eV จะเห็นว่าอันตรกิริยาน่าจะเกิดกับ  $2p_z$  ของ F ซึ่งมีพลังงานใกล้เคียงกับ  $1s-H ดังนั้นแผนภาพ MO จึงมีลักษณะดังรูปที่ 4.16$$$$$



รูปที่ 4.16 แผนภาพโมเลกุลาร์ออร์บิทัลเชิงคุณภาพสำหรับ HF ; พันธะปฐมภูมิเกิดระหว่าง  $1s-H และ  $2p_z$ -F และมีอันตรกิริยาแบบทุติกุมิเกี่ยวข้องกับ  $2s-F บ้าง ส่วน  $2p_x$  และ  $2p_y$ -F เป็นอนอนดิง$$

อะลีกตรอน 2 ตัวที่อยู่ในอนอนดิงออร์บิทัล  $\sigma$  มาจากการล้ากันของ  $1s-H และ  $2p_z$ -F ส่วนในแอนดิบอนดิงออร์บิทัล  $\sigma^*$  ไม่มีอะลีกตรอน ทำให้อันดับพันธะเท่ากับ 1.0 ส่วนอะลีกตรอนที่เหลืออีก 6 ตัวเป็น อนอนบอนดิง (nonbonding) อยู่ใน  $2s$ ,  $2p_x$  และ  $2p_y$  ออร์บิทัลซึ่งระดับพลังงานไม่เปลี่ยนแปลงเมื่อ F เปลี่ยนไปเป็น HF อะลีกตรอนเหล่านี้เรียกว่า อะลีกตรอนคู่โดดเดี่ยว (lone pairs) อย่างไรก็ตามเนื่องจาก  $2s$  และ  $2p_z$  มีสมมาตรเหมือน$

กันจึงมีการผสมกันเล็กน้อย ซึ่งทำให้ σ เสถียรน้อยลง ส่วน 2s-F จะเสถียรมากขึ้น ดังนั้น օร์บิทัลหลังจึงไม่เป็นอนอนบอนดิงอย่างสมบูรณ์

อิเล็กตรอนที่เกิดพันธะอยู่ในօร์บิทัลซึ่งมีลักษณะเฉพาะตัวเหมือน F ( $c_F > c_H$ ) ดังนั้น F จึงมีเศษส่วนที่ทำให้เวลน์ซึ่อิเล็กตรอนมากกว่า 7 ตัว จึงแสดงประจุลบเป็นบางส่วน (partial negative charge) ส่วน H แสดงประจุบวกเล็กน้อย (partially positive) พันธะแบบนี้เรียกได้ว่า โภควนิลท์แบบมีช้า (polar covalent)

แผนภาพ MO's สำหรับ HCl HBr และ HI คาดว่ามีรูปแบบเหมือนกัน อย่างไรก็ตาม ขนาดของอะตอมเพิ่มขึ้นจาก  $F \rightarrow I$  พันธะ H-X จะยาวขึ้นและพลังงานพันธะจะลดลง (ตารางที่ 4.5)

ตารางที่ 4.5 ความยาวพันธะและพลังงานพันธะสำหรับไฮโดเจนไฮโลเดบานงตัว

สปีชีส์	d, pm	D, $\text{kJ mol}^{-1}$	สปีชีส์	d, pm	D, $\text{kJ mol}^{-1}$
HF	92	562	HBr	141	363
HCl	127	428	HBr <sup>+</sup>	146	—
HCl <sup>+</sup>	132	453	HI	161	295

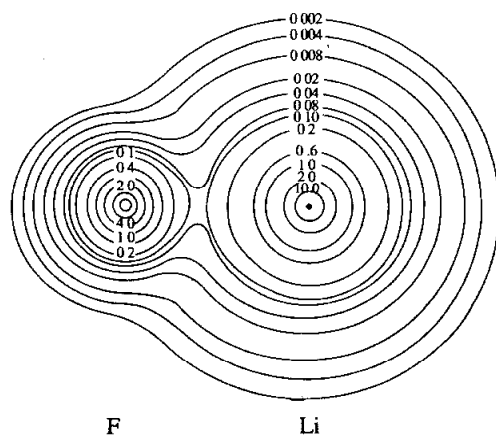
ความยาวพันธะและพลังงานพันธะจะเปลี่ยนแปลงเพียงเล็กน้อยเมื่อเกิดการออกซิเดชันสูญเสียอิเล็กตรอนหนึ่งตัว ทั้งนี้ เพราะอันดับพันธะไม่เปลี่ยนแปลง (อนอนบอนดิงอิเล็กตรอนหลุดออกไป) ส่วนพลังงานพันธะเพิ่มขึ้นเล็กน้อยเพราะลดแรงผลักระหว่างอิเล็กตรอนลง ตัวอย่างเช่น D สำหรับ  $\text{HCl}^+$  มีค่า 453 กิโลจูลต่้อมล เพิ่มขึ้นจาก HCl 6%

#### 4.10.2 ลิเทียมฟลูออไรด์ : การทราบชิ้นระหว่างโภคเวลน์-อิออนิก

$\text{LiF}$  (lithium fluoride) มีเวลน์ซึ่อิเล็กตรอนเท่ากับ HF และเวลน์ซึ่อิเล็กตรอนของ Li ซึ่งมีอยู่ 1 ตัวนั้นอยู่ใน 2s- օร์บิทัล ดังนั้นจึงคาดหมายว่าแผนภาพ

MO's สำหรับ LiF ควรจะเหมือนกับของ HF อย่างไรก็ตามมีความแตกต่างที่สำคัญก็คือ VSIE ของ 2s-Li มีค่าเพียง 5.4 eV ความแตกต่างระหว่าง 2s-Li และ 2p<sub>Z</sub>-F จึงมาก ผลก็คืออนดิจิตร์บิตล (σ) มีลักษณะเฉพาะของ F มากกว่า Li ( $c_F >> c_{Li}$ ) ในขณะที่ σ\* มี  $c_{Li} >> c_F$  จึงอาจกล่าวได้ว่า σ- ออร์บิตลนี้เป็น F เกือบ 100 % แสดงว่าอิเล็กตรอนทั้ง 8 ตัวเป็นของอะตอมนี้ นั่นคือ F มีประจุ -1 (และ Li มีประจุ +1) จากการเกิดพันธะนี้ กล่าวอีกประการหนึ่งก็คือ อิเล็กตรอนถ่ายโอนจาก Li → F ในวิธีนี้แนวคิดของการเกิดพันธะอิออนิกดูจะเป็นส่วนหนึ่งของทฤษฎีโมเลกุลาร์ออร์บิตล์ด้วย

เมื่อได้ก็ตามตัวมีพันธะเกิดขึ้นระหว่างอะตอมที่ต่างกัน 2 อะตอม การกระจายของความหนาแน่นอิเล็กตรอนจะไม่เท่ากัน นิวเคลียสหนึ่งจะมีความหนาแน่นอิเล็กตรอนมากกว่าอีกนิวเคลียสหนึ่ง พันธะจะเป็นโคลเวเลนท์ โคลเวเลนท์แบบมีข้อห้ามหรืออิออนิกขึ้นอยู่กับการกระจายของอิเล็กตรอนว่าไม่เท่ากันมากหรือน้อยอย่างไร นั่นคือขึ้นอยู่กับพลังงานเวเลนซ์ออร์บิตลของอะตอมที่เข้ามาเกิดพันธะด้วย พล็อตของเส้นทางสำหรับอนดิจิตร์บิตลของ LiF ที่ได้จากการศึกษาทางทฤษฎีเชิงปริมาณแสดงในรูปที่ 4.17



รูปที่ 4.17 พล็อตเส้นทางของอนดิจิตร์บิตลแบบปั๊มน้ำ (σ) ของ LiF จะเห็นว่าความหนาแน่นอิเล็กตรอนส่วนใหญ่อยู่รอบๆ F

## 4.11 โมเลกุลหลายอะตอม (Polyatomic Molecules)

ในหัวข้อนี้เราจะพิจารณาสารประกอบที่มีสูตรทั่วไปเป็น  $MX_n$  สเปชีส์ที่มีอะตอม 2 ชนิด จะมีอะตอมกลาง (central atom) 1ตัว และมีอะตอมปลาย (terminal atoms)  $\geq 2$  อะตอม โมเลกุลของร์บิตัลของสารประกอบแบบนี้จะครอบคลุมไปทั่วทุกอะตอมในระบบ (delocalized) วิธีการหา MO's เหล่านี้จะต่างไปจากโมเลกุลสองอะตอมเล็กน้อย วิธีการทั่วๆไป มี 2 ขั้น (stages) ขั้นแรก อะตอมปลายทั้งหมดจะรวมกันให้ออร์บิตัลใหม่ที่เรียกว่า ออร์บิตัลที่เกิดจากการรวมเชิงเส้นซึ่งได้ปรับสมมาตรแล้ว (symmetry-adapted linear combination orbitals หรือ SALC's) ซึ่งต่อมาออร์บิตัลเหล่านี้จะเข้ารวมกับอะตอมมิคิออร์บิตัลที่เหมาะสมของอะตอมกลาง

### 4.11.1 โมเลกุลสามอะตอม (Triatomic Molecules)

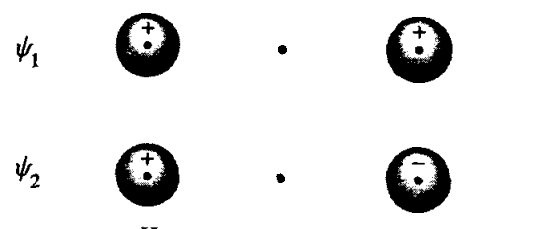
$BeH_2$  เป็นโมเลกุลเส้นตรงซึ่งกลุ่มนี้เป็น  $D_{\alpha_h}$  เส้นตรงที่มีอะตอมทั้ง 3 อยู่มีแกน  $C_\alpha$  ซึ่งถือว่าเป็นแกน z ไซโตรเจนอะตอมปลายทั้งสองให้เวลenuซ์ออร์บิตัล 2 ออร์บิตัล ซึ่งเครื่องหมายของฟังก์ชันคลื่นอาจเหมือนกันหรือไม่เหมือนกันก็ได้ จึงได้ SALC's 2 แบบ คือ  $\Psi_1$  จากการรวมแบบเครื่องหมายเหมือนกัน และ  $\Psi_2$  จากการรวมแบบเครื่องหมายต่างกัน ดังสมการ

$$\Psi_1 = \frac{1}{\sqrt{2}} (\phi_1 + \phi_2) \quad (4.13)$$

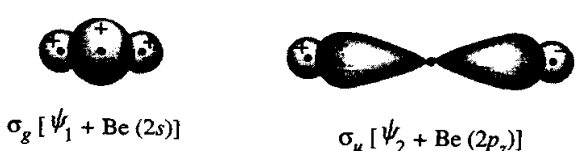
$$\Psi_2 = \frac{1}{\sqrt{2}} (\phi_1 - \phi_2) \quad (4.14)$$

SALC's เหล่านี้แสดงดังแผนภาพในรูปที่ 4.18 (ก) และจากตารางอัตลักษณ์  $D_{\alpha_h}$  สมมาตรของออร์บิตัลตั้งกล่าวจะเป็น  $\Sigma_g^+$  ( $\Psi_1$ ) และ  $\Sigma_u^+$  ( $\Psi_2$ )

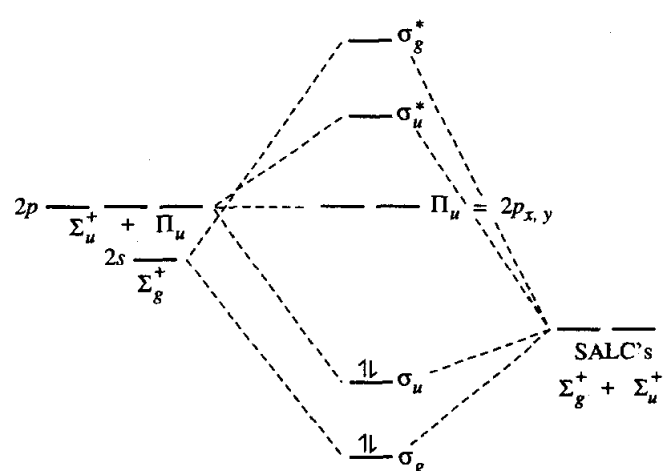
$Be$  อะตอมกลางมี 4 เวลenuซ์ออร์บิตัล การแบ่ง s- และ p- ออร์บิตัลในสมมาตร  $D_{\alpha_h}$  เราได้เคยทราบแล้วว่าเป็น  $\Sigma_g^+$  (s)  $\Pi_u$  ( $p_{x,y}$ ) และ  $\Sigma_u^+$  ( $p_z$ ) เพราะฉะนั้น  $\Psi_1$  จะถูก กับ  $2s-Be$  เกิดบนดิจและแอนติบนดิจของออร์บิตัล ( $\sigma_g$  และ  $\sigma_u^*$ ) ตามลำดับ ขณะที่  $\Psi_2$  มี สมมาตรที่เหมาะจะถูกกับ  $2p_z-Be$  ให้  $\sigma_u$  และ  $\sigma_u^*$  ออร์บิตัล ส่วน  $2p_x$  และ  $2p_y$  ซึ่ง



(n)



(u)



(k)

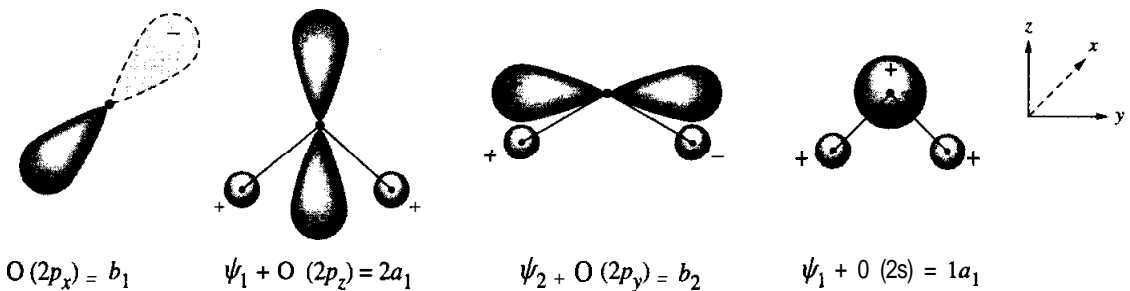
รูปที่ 4.18 ทฤษฎี LCAO ซึ่งประยุกต์กับ  $\text{BeH}_2$  (ก) ภาพสเก็ตช์ของ SALC's  $\psi_1$  มีสมมาตรเหมือนกับ  $2s$  จะเห็นว่า  $\psi_2$  มีอันตริมิยา กับ  $2p_z$  ได้ (ข) บอนดิ่งไมเดกูลาร์ออร์บิทัล  $\sigma_g$  และ  $\sigma_u$  (ค) แผนภาพระดับพลังงาน MO's

มีสมมาตรแบบ  $\pi$  ไม่มีคู่ใน H จึงเป็นอนบนอนดิง การเกิดอนคิงโนเลกุลาร์/orbital และแผนภาพ MO's ที่สมบูรณ์แสดงในรูปที่ 4.18 (x) และ 4.18 (c) ตามลำดับ

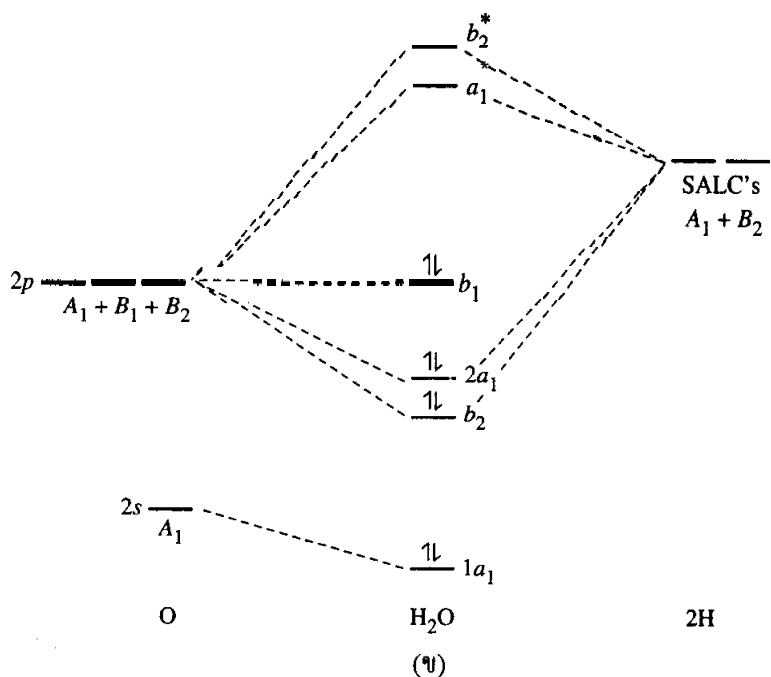
ในแผนภาพนี้ 6 MO's เป็นอนดิง อนบนอนดิง และแอนติบอนดิง อย่างละ 2 ออร์บิทัลตามลำดับ 4 เวเลนซ์อิเล็กตรอนจะอยู่ในอนดิงออร์บิทัลแบบ σ ซึ่งสอดคล้องกับ สูตรของลิวิส (Lewis-type formulation) ซึ่งมีพันธะเดียว 2 พันธะ สารประกอบเป็นไออะ แมกนีติก LUMO's ก็คือนอนบนอนดิงออร์บิทัลทั้ง 2 ซึ่งว่างและค่อนข้างเสถียร จึงเป็น ตำแหน่งที่จะได้รับอิเล็กตรอนคู่จากอะตอนตัวอื่นที่เป็นตัวให้ได้ จะนั่น BeH<sub>2</sub> จึงมีแนวโน้ม เป็นกรดแบบลิวิส (Lewis acid) และสมบัติทางเคมีที่เรารู้จักกันดีก็มีมาจากการสมบัตินี้ (จริงๆ แล้วมักจะเกิดการโพลิเมอไรซ์ที่อุณหภูมิห้องเพื่อให้ Be อะตอนกรนออกเดต)

โนเลกุลที่จะพิจารณาต่อไปคือ โนเลกุลของน้ำ H<sub>2</sub>O ซึ่งมีรูปร่างเป็นมุม (angular) กลุ่มชี้คือ C<sub>2v</sub> นำไปสู่ความแตกต่างหลายประการเมื่อเทียบกับ BeH<sub>2</sub> ผู้อ่านควรจะสามารถ หาได้ว่า ออร์บิทัล SALC's ทั้ง 2 ตัวแทนเป็น A<sub>1</sub> และ B<sub>2</sub> (สอดคล้องกับ ψ<sub>1</sub> ซึ่งมีเครื่องหมายเหมือนกัน และ ψ<sub>2</sub> ซึ่งมีเครื่องหมายต่างกันตามลำดับ)

สำหรับ O อะตอนกลาง s- และ p<sub>z</sub>- ออร์บิทัลมีสมมาตร A<sub>1</sub> ทั้ง 2 ออร์บิทัล จึงทำ อันตรกิริยา กับ ψ<sub>1</sub> การล้ากันจะเกิดกับ p<sub>z</sub> ก่อน ทั้งนี้เนื่องจาก 2p<sub>z</sub>-O มีพลังงานไก้เดียง กับ 1s-H จากนั้นจึงเกิดผสมแบบทุติยภูมิกับ 2s-O ส่วน 2p<sub>y</sub>-O มีสมมาตร B<sub>2</sub> จึงเกิด อันตรกิริยา กับ ψ<sub>2</sub> สำหรับ 2p<sub>x</sub>-O มีสมมาตร B<sub>1</sub> จึงเป็นอนบนอนดิง รูปที่ 4.19 แสดง ภาพสเก็ตซ์ของออร์บิทัลและแผนภาพ MO's จะเห็นว่า MO's 2a<sub>1</sub> และ b<sub>2</sub> เป็นอนดิง ส่วน 1a<sub>1</sub> และ b<sub>1</sub> เป็นอนบนอนดิงออร์บิทัล โดยมีอิเล็กตรอนคู่โอดเดียวบน O อะตอน (จากรูป จะเห็นว่า 1a<sub>1</sub> มีลักษณะของอนบนอนดิงเกิดขึ้นบ้างจากการผสมแบบทุติยภูมิคั่งกล่าว ไปแล้ว) ส่วนแอนติบอนดิงออร์บิทัลนั้นจะว่าง



(f)

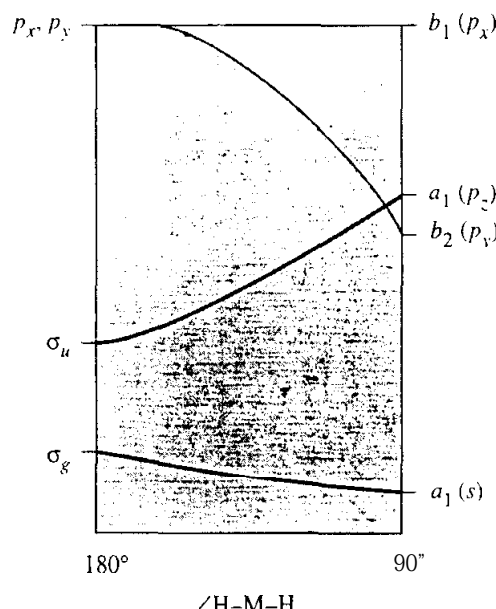


รูปที่ 4.19 โนมเลกุลาร์ออร์บิทัลของ  $\text{H}_2\text{O}$  (g) เป็นภาพสเกตซ์ของออร์บิทัลที่มีพลังงานค่าสุดทึ้ง 4 ออร์บิทัล (h) แผนภาพระดับพลังงานเชิงคุณภาพ

#### 4.11.2 แผนภาพวอลช์ (Walsh Diagrams)

เราสามารถเขียนความสัมพันธ์ของแผนภาพ MO's สำหรับ  $\text{BeH}_2$  และ  $\text{H}_2\text{O}$  ได้โดยใช้ แผนภาพวอลช์ (Walsh Diagram) ซึ่งพล็อตพลังงานของ MO's เป็นฟังก์ชัน กับมุมของพันธะ (bond angle) ในรูปที่ 4.20

แผนภาพวอลช์ที่แสดงนี้สำหรับ  $MH_2$  โดยเลกุลที่มีมุมระหว่าง  $180^\circ - 90^\circ$  จะเห็นว่า  $H-\hat{M}-H = 180^\circ$  นั้น  $p_x, p_y$ -อิอร์บิตัลเดินจะเป็นอนบนดิ่ง การถักกันจะเป็นสูนย์และที่ควรเห็นได้ชัดคือ ระบบ  $MH_2$  ที่มี 4 เวเลนซ์อิเล็กตรอนจะมีรูปร่างที่เสถียรที่สุดเป็นเส้นตรง (linear) เนื่องจากอิอร์บิตัลที่มีอิเล็กตรอนบรรจุเต็มที่มีความเสถียรที่สุดที่  $180^\circ$  อย่างไรก็ตามถ้ามีเวเลนซ์อิเล็กตรอน 8 ตัว รูปร่างมักจะไม่เป็นเส้นตรง เช่น  $H_2O$  เป็นต้น



รูปที่ 4.20 แผนภาพวอลช์สำหรับสปีชีส์  $MH_2$

#### 4.11.3 ไฟลเดน : ระบบห้าอะตอม (Five - Atom System)

ในท้ายบทที่ 3 เราได้ถือว่าพันธะทั้งสามของ  $BF_3$  เป็นเวกเตอร์ (vectors) เพื่อหาสมบัติทางสมมาตรมาแล้ว วิธีการเดียวกันนี้อาจใช้หาตัวแทนสำหรับ SALC's ของ เตตราซิลิซิรัล ไโนเลกุล  $SiH_4$  (silane) ได้เช่นกัน

เวกเตอร์ของพันธะ Si-H ทั้ง 4 จะให้ตัวแทนแบบลดทอนได้ในสมมาตร  $T_d$

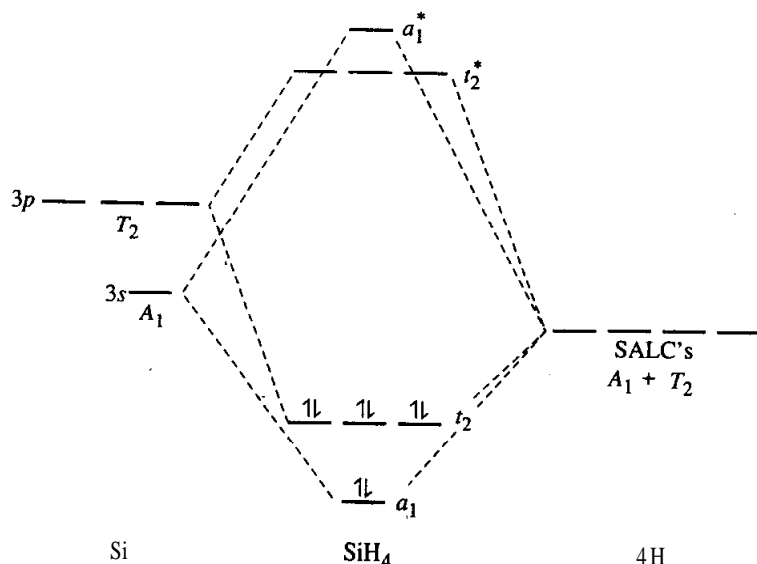
	$E$	$8C_3$	$3C_2$	$6S_4$	$6\sigma_d$
$\Gamma_{\text{SALC}}$	4	1	0	0	2

\*หมายเหตุ : ใช้ตารางอัตถักษณ์เพื่อพิสูจน์และทบทวนในหัวข้อบทที่ 3

เราสามารถลดทอน  $\Gamma_{\text{SALC}}$  ให้ได้ตัวแทนแบบลดทอนไม่ได้ โดยการพิจารณาหรือใช้สมการ (3.5) ได้

$$\Gamma_{\text{SALC}} \rightarrow A_1 + T_2$$

ด้วยเหตุนี้ SALC's ทั้ง 4 จึงแบ่งออกเป็นเซตย่อย (subsets) ที่มีคุณสมบัติเดียว (singly) และสาม (triply)



รูปที่ 4.21 แผนภาพโนเมลคูลาร์ออร์บิทัลของ SiH<sub>4</sub>

ต่อมาเราต้องหาให้ได้ว่า ออร์บิทัลของอะตอมกลางมีสมมาตรที่เหมือนกันที่จะเกิดอันตรกิริยา กับ SALC's นี้อย่างไร โดยการใช้ค่านขวางของตารางอัตถักษณ์  $T_d$  เราจะพบว่า

เวลนซ์ออร์บิทัลของ Si จะแปลงเป็น  $A_1$  (s) และ  $T_2^*$  ( $3p_{x,y,z}$ ) ด้วยเหตุนี้จึงมีความสอดคล้องกันระหว่าง  $A_1-A_1$  และ  $T_2-T_2$  ของอะตอมกลางและ SALC's ทำให้ได้บนองคิงออร์บิทัลจำนวนมากที่สุด ดังแสดงในรูปที่ 4.21

อิเล็กตรอนทั้ง 8 อู๊ดในบนองคิงออร์บิทัล และอีก 4 แอนติบอนองคิงออร์บิทัลจะร่าง ซึ่งสอดคล้องกับสูตรพันธะเดียวทั้ง 4 ของเลวิส

#### 4.11.4 ออกระเอียดรัสปีซีส์ (Octahedral Species)

ระบบ  $MX_6$  มีมากหลายรูปของรัสปีซีส์ (regular) และรูปที่บิดเบี้ยวไป (distorted) ซึ่งจะพบเป็นปกติในสารประกอบโคออร์ดิเนชันและอิโอนคอมเพล็กซ์ ในที่นี่เราจะพูดถึงแผนภาพโมเลกุลาร์ออร์บิทัลของ  $MX_6$  สปีซีส์โดยทั่วๆ ไป

ถ้าถือว่าพื้นที่ M-X ทั้ง 6 เป็นวงเตอร์ในพื้นที่กรุ๊ป  $O_h$  ตัวแทนแบบลดthon ได้จะเป็นดังนี้ :

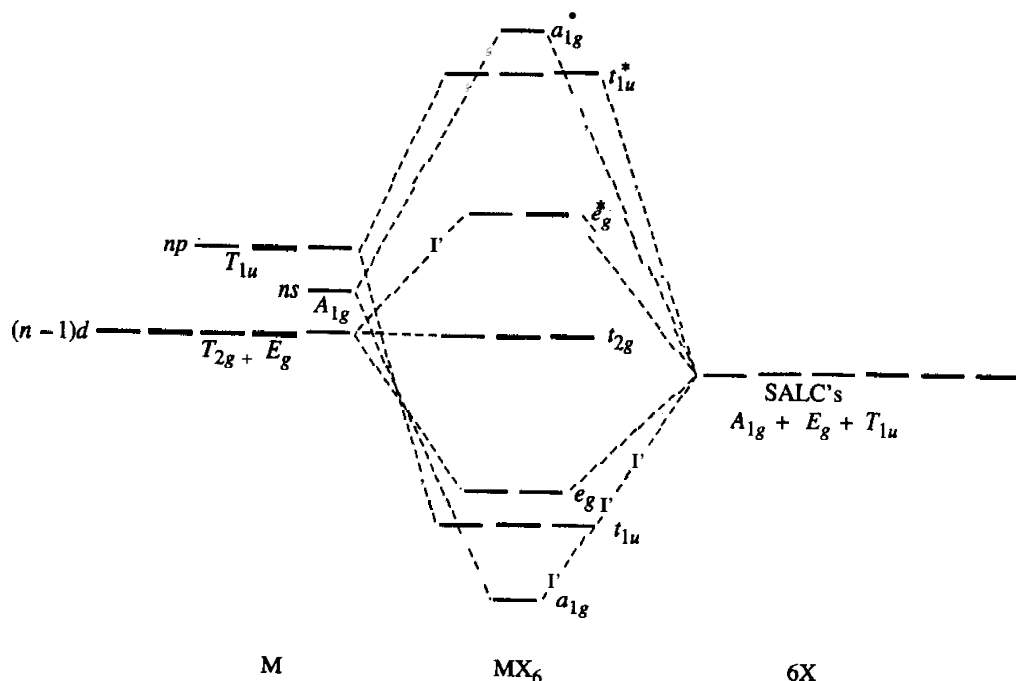
	$E$	$8C_3$	$6C_2$	$6C_4$	$3C_2$	$i$	$6S_4$	$8S_6$	$3\sigma_h$	$6\sigma_d$
$\Gamma_{SALC}$	6	0	0	2	2	0	0	0	4	2

ครั้งนี้อีกเช่นกันท่านควรจะใช้เวลาพิสูจน์ (ในการพิสูจน์นี้เราควรจะทราบว่า  $C_2$  ตัวที่สองนั้นคือ  $C_4^2$  นอกจากนี้  $S_4$  กับ  $S_6$  ใช้แคนร่วมกับ  $C_2$  ตัวแรก และ  $C_3$  ตามลำดับ) ในกรณีนี้  $\Gamma_{SALC}$  ลดthon ได้เป็น  $A_{1g} + E_g + T_{1u}$

อะตอมมิคออร์บิทัลของอะตอมกลางแปลงได้ดังนี้ :  $s \rightarrow A_{1g}$ ;  $p_x, p_y, p_z \rightarrow T_{1u}$ ;  $d_{z^2}, d_{x^2-y^2} \rightarrow E_g$  และ  $d_{xy}, d_{xz}, d_{yz} \rightarrow T_{2g}$  ทั้งหมด 9 อะตอมมิคออร์บิทัลและ 6 SALC's ดังนี้จึงต้องมีอย่างน้อย 3 อนบนองคิงออร์บิทัล เนื่องจาก SALC's ไม่มีสมมาตร  $T_{2g}$  ดังนั้นออร์บิทัล  $d_{xy}, d_{xz}, d_{yz}$  จึงเป็นอนบนองคิงออร์บิทัล เกิดเพียง 6

\*  $T_2$  : d-ออร์บิทัลก็อาจให้สมมาตร  $T_2$  ( $d_{xy, xz, yz}$ ) ได้เช่นกัน อย่างไรก็ตามการคำนั้นของ np-ออร์บิทัลจะมีโอกาสมากกว่า nd โดยเฉพาะพัฒนา SALC's จะเข้ากันได้ดีกับ 3p-Si มากกว่า 3d-Si

บอนดิ่ง และ 6 แอนติบอนดิ่งออร์บิทัล แผนภาพโนเมเลกุลาร์ออร์บิทัลสมบูรณ์แสดงดังรูปที่ 4.22



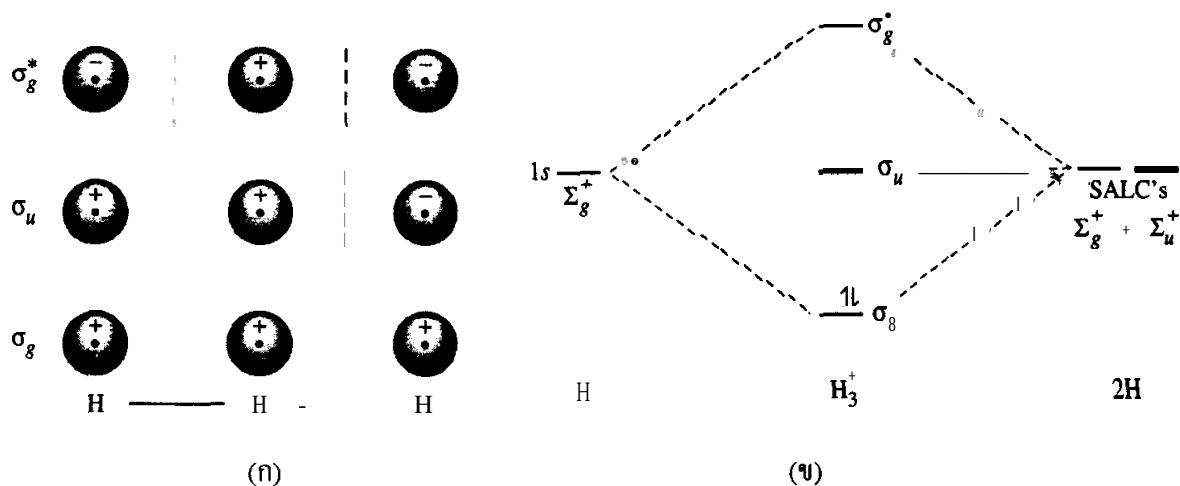
รูปที่ 4.22 แผนภาพโนเมเลกุลาร์ในอุณหคติ (เฉพาะ σ-) สำหรับออกอะซีดรัลสเปซีฟ์  $\text{MX}_6$

จะเห็นว่าจำนวนอิเล็กตรอนตั้งแต่ 12-18 จะบรรจุเต็มในบอนดิ่งออร์บิทัล อิเล็กตรอนตัวที่ 13 จะเริ่มเข้าไปในอนบอนดิ่งออร์บิทัล

การวิเคราะห์ครั้นี้พิจารณาเฉพาะพื้นที่ σ สำหรับการล้ากันแบบ π สำคัญในสารประกอบเชิงช้อนรูปออกอะซีดรัล ซึ่งจะได้กล่าวถึงในบทหลังต่อไป

#### 4.11.5 การเกิดพันธะแบบมีศูนย์กลาง 3 ตำแหน่ง (Three-Center Bonding)

การประยุกต์ทฤษฎี LCAO-MO กับ  $H_3^+$  และ  $H_3^-$  (trihydrogen ions) เราจะสมนติว่ามีรูปร่างเป็นเส้นตรง (แต่จริงๆแล้ว จากการคำนวณเชิงปริมาณพบว่าโน้ตกลุกนี้เป็นรูปสามเหลี่ยม) สำหรับ  $H_3^+$  นั้น SALC's ของ H อะตอมปลายทั้งสองเหมือนกับของ  $BeH_2$  แต่ H อะตอมกลางมีเพียง 1 เวลนซ์ออร์บิทัล ชื่นคือ  $\Sigma_g^+$  ใน  $D_{\alpha h}$  ด้วยเหตุนี้  $\psi_1$  ในรูป 4.18 (ก) จึงเกิดบนดึงและแนบติดบนดึงออร์บิทัล แต่  $\psi_2$  เกิดเป็นนอนบนดึงผลดังกล่าวแสดงในรูปที่ 4.23 เนื่องจาก σ-ออร์บิทัลที่มีอิเล็กตรอนบรรจุอยู่ และ H อะตอมทั้ง 3 มีส่วนร่วมให้ (contribute) กับออร์บิทัลนั้น นั่นคือ พันธะ 1 พันธะกระจายไปทั่วทั้ง 3 อะตอม กรณีนี้เรียกว่า พันธะ 2 อิเล็กตรอนที่มี 3 ศูนย์กลาง (three-center, two-electron bond)



รูปที่ 4.23 ผลของ LCAO-MO สำหรับโน้ตกลุกเส้นตรง  $H_3^+$  (ก) สเก็ตซ์แสดง MO's ทั้ง 3  
(ข) แผนภาพระดับพลังงานแสดงให้เห็นพันธะ 2 อิเล็กตรอนที่มี 3 ศูนย์กลาง

แผนภาพโนมเลกุลาร์ออร์บิทัลสำหรับ  $H_3^-$  แอนอิโอนกึ่กสَاຍกันແຕ່ມີເລື່ອດຽກຕະອນນົບຮຸຈຸ  
ອູ້ໃນນອນບອນດິງອອർบິຕັລ (σ<sub>u</sub>) ເປັນພັນຍະ 4 ອີເລື່ອດຽກຕະອນທີ່ມີ 3 ສູນຍົກລາງ (three-center ,  
four-electron bond)

## แบบฝึกหัดและคำถามท้ายบท

- 4.1 จงบอกความแตกต่างระหว่างพันธะ  $\sigma$ ,  $\pi$  และ  $\delta$  ผ่านลักษณะเฉพาะที่แสดงจำนวนชื่อพันธะกับสมมาตร
- 4.2 ในโมเดลที่พิจารณาเป็น  $C_{\infty}$  จงตอบคำถามเกี่ยวกับการล้ากันของออร์บิตัลต่อไปนี้ (โดยอาศัยตารางอัตลักษณ์ในภาคผนวก)
- (ก)  $p$ -ออร์บิตัลใดที่มีสมมาตรเหมือนในการเกิดพันธะ  $\sigma$  กับ  $s$ -ออร์บิตัลจากอะตอมที่อยู่ติดกัน
  - (ข)  $d$ -ออร์บิตัลใดที่มีสมมาตรเหมือนที่จะเกิดพันธะ  $\sigma$  กับ  $r$ -ออร์บิตัลจากอะตอมที่อยู่ติดกัน
  - (ค)  $d$ -ออร์บิตัล 2 ออร์บิตัลใดที่สามารถเกิดพันธะ  $\pi$  กับ  $p_x$  และ  $p_y$  ออร์บิตัล
  - (ง) อันตรรศริยาแบบใดที่เป็นไปได้ระหว่าง  $d_{xy}$ -ออร์บิตัลของอะตอมทั้งสองที่อยู่ติดกัน
- 4.3 สเปซีฟ์ไดค์ตอไปนี้ที่แสดงที่สุด ให้เหตุผลสำหรับคำตอบของท่าน  $\text{BeH}$   $\text{BeH}^+$   $\text{BeH}^-$
- 4.4 (ก) จงสร้างแผนภาพ  $\text{MO}'s$  สำหรับคลิเทียมไฮไครด์ ( $\text{LiH}$ ) นอกจากงานสัมพัทธ์นาให้ชัดเจน และคำนวณอันดับพันธะ
- (ข) ความยาวพันธะจากการทดลองของ  $\text{LiH}$  คือ 160 พิโคเมตร พลังงานพันธะเท่ากับ 245 กิโลจูลต่อโมล เปรียบเทียบค่าเหล่านี้กับ  $\text{H}_2$  และ  $\text{Li}_2$  ค่าที่ได้สมเหตุผลหรือไม่
  - (ค) อะตอมใดระหว่าง  $\text{Li}$  หรือ  $\text{H}$  ที่มีประจุลบในสารประกอบนี้ อธิบาย
- 4.5 โซเดียมและคลอรินอยู่ในความเดียวกันของตารางธาตุ ทั้ง  $\text{Na}_2$  และ  $\text{Cl}_2$  มีอันดับพันธะเท่ากัน 1.0 อย่างไรก็ตามพลังงานพันธะของ  $\text{Cl}_2$  มีค่ามากเป็น 3 เท่าของ  $\text{Na}_2$  อธิบายเหตุผล



- (ก) จงสร้างแผนภาพ MO's สำหรับอิオอนนี้
- (ข) จงหาอันดับพันธะและจำนวนอิเล็กตรอนเดี่ยวในอิオอนนี้
- (ค) ถ้าจะเติม  $H^+$  เข้าไปในอิオอนนี้ ท่านคิดว่าจะเข้าที่ตำแหน่งใด อธิบาย

4.14 ไอโอดีน (ozone)  $O_3$  เป็นโมเลกุลที่มีรูปร่างขอเป็นมุม (angular)  
(ก) จงสร้างแผนภาพระดับพลังงาน MO's โดยที่ไม่มีการผสมของ s-p อะր์บิตัล  
(ข) ถ้ามีการผสมของ s-p อะร์บิตัล จงบอกถึงการเปลี่ยนแปลงระดับพลังงานของ MO's

4.15 จงสร้างแผนภาพ MO's สำหรับไฮดรอกซิลเรดิกัล ( $\cdot OH$ ) แล้วตอบคำถามต่อไปนี้  
(ก) อันดับพันธะจะเป็นเท่าไหร่  
(ข) เมื่อเปรียบเทียบกับ HF เสถียรภาพของลปีซีส์นี้เป็นอย่างไร  
(ค) ท่านคาดหวังว่า  $\cdot OH$  นี้จะมีแนวโน้มที่จะรับอิเล็กตรอน 1 ตัวมาก และ เพราะเหตุใด